

ANHANG

Anhang A: log-lineare Regressionen

Anhang B: Unsicherheit der Wassergehaltsbestimmung

Anhang C: Abbildungen zum Kapitel 4.3

Anhang D: Stamm- und Bezugslösungen, Zwischenverdünnungen von PCP+HCB

Anhang E: Unsicherheit des Gehalts in den dotierten Bodenproben

ANHANG A: LOG-LINEARE REGRESSIONEN

Log-lineare Regression für Arsen

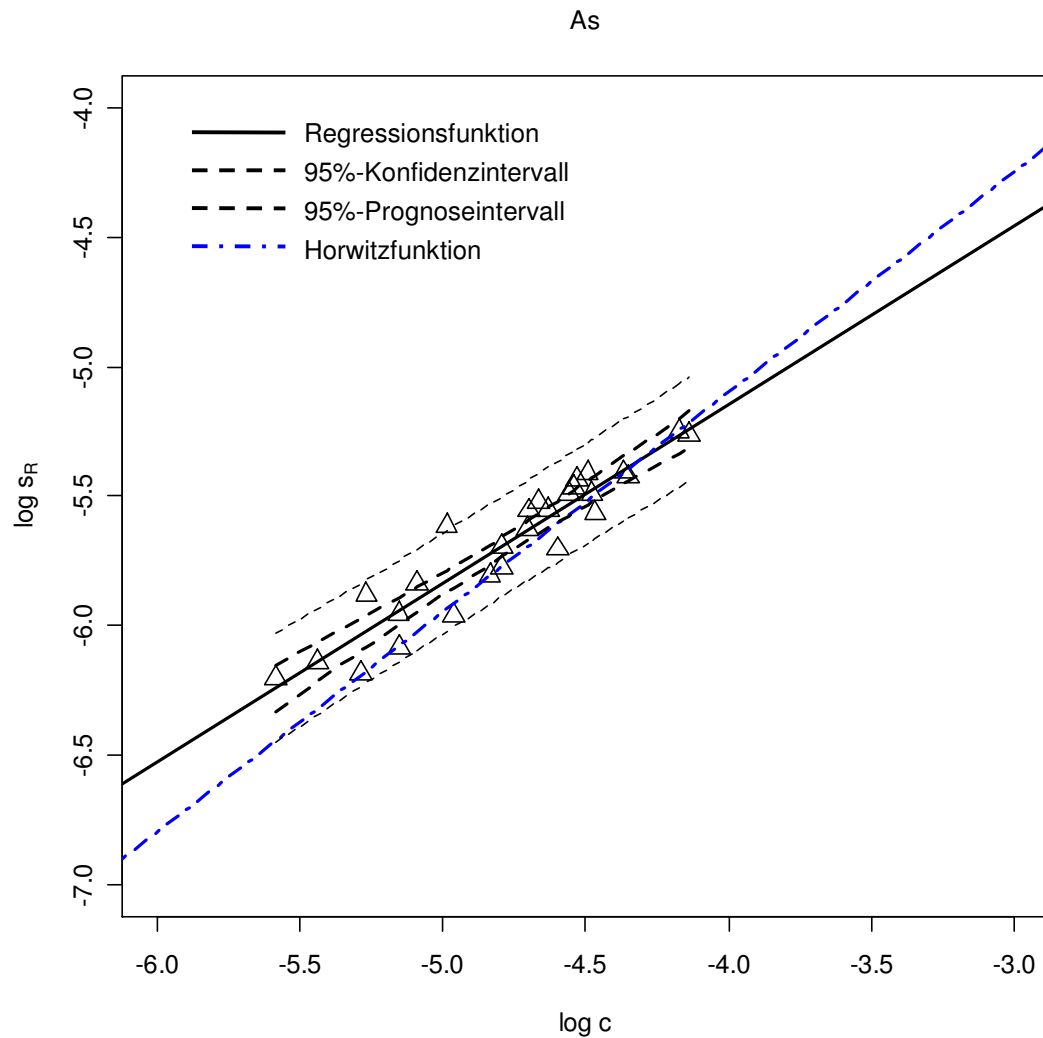


Abbildung A 1: Vergleichsstandardabweichung s_R aus Ringversuchen über die Bodengehalte c der Ringversuchsproben für **Arsen** (s_R, c in Massefraktion $1 \text{ mg/kg} = 10^{-6}$).

Anhang

Analysis of Variance Table – Arsen

Response: y

	Df	Sum Sq	Mean Sq	F value	Pr(>F)
x	1	1.75498	1.75498	207.20	1.326e-13 ***
Residuals	25	0.21175	0.00847		

Signif. codes: 0 '***' 0.001 '**' 0.01 '*' 0.05 '.' 0.1 ' ' 1

Call:

> lm(formula = y ~ x)

Residuals:

Min	1Q	Median	3Q	Max
-0.147823	-0.057265	0.001317	0.059688	0.212473

Coefficients:

	Estimate	Std. Error	t value	Pr(> t)
(Intercept)	-2.38332	0.22950	-10.38	1.49e-10 ***
x	0.69073	0.04799	14.39	1.33e-13 ***

Signif. codes: 0 '***' 0.001 '**' 0.01 '*' 0.05 '.' 0.1 ' ' 1

Residual standard error: 0.09203 on 25 degrees of freedom

Multiple R-Squared: 0.8923, Adjusted R-squared: 0.888

F-statistic: 207.2 on 1 and 25 DF, p-value: 1.326e-13

Pearson's product-moment correlation

data: x and y

t = 14.3944, df = 25, p-value = 1.326e-13

alternative hypothesis: true correlation is not equal to 0

95 percent confidence interval:

0.8808064 0.9747410

sample estimates:

cor
0.9446338

Log-lineare Regression für Cadmium

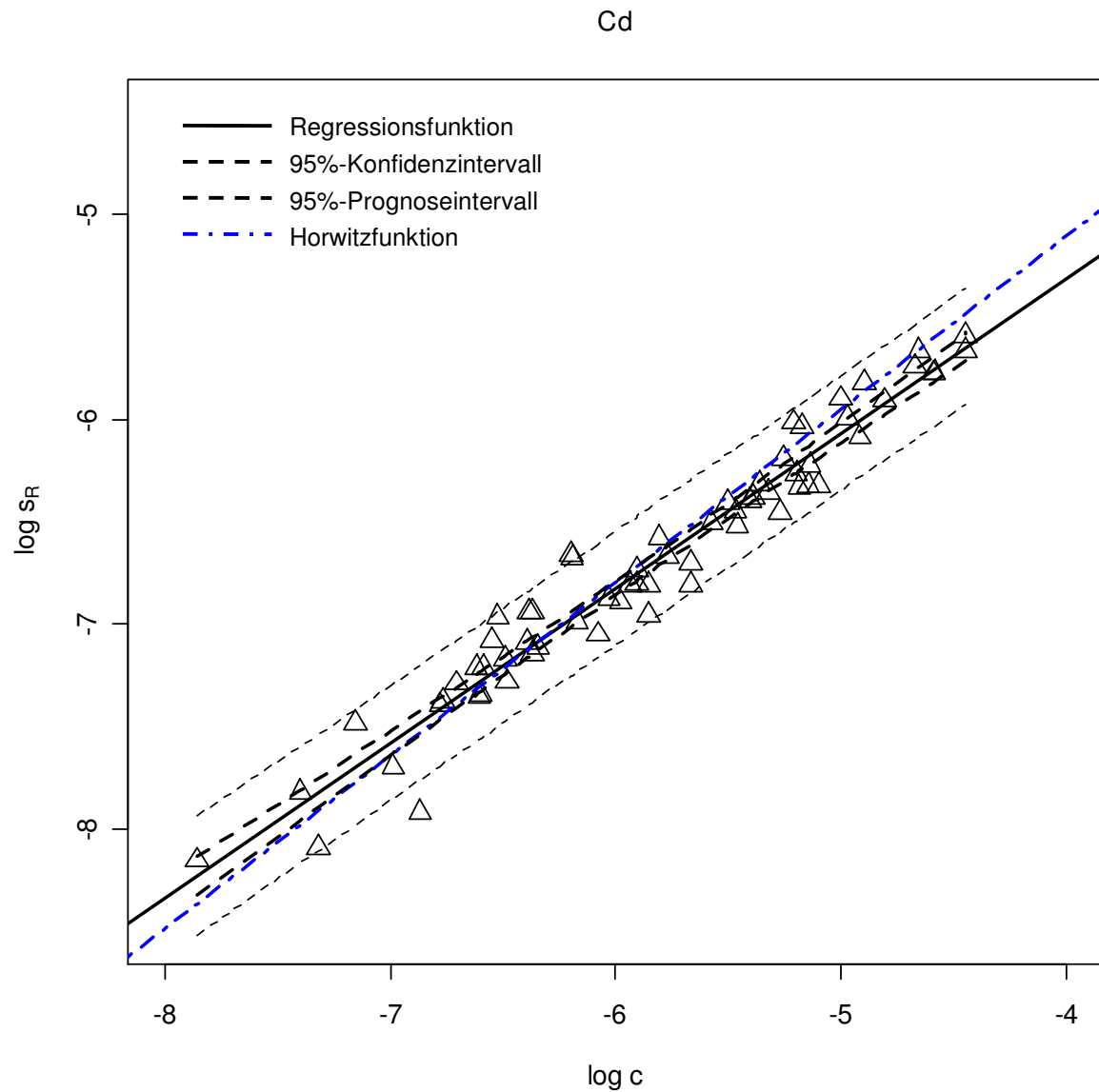


Abbildung A 2: Vergleichsstandardabweichung s_R aus Ringversuchen über die Bodengehalte c der Ringversuchsproben für **Cadmium** (s_R, c in Massefraktion $1 \text{ mg/kg} = 10^{-6}$).

Anhang

Analysis of Variance Table - Cadmium

```
Response: y
      Df    Sum Sq   Mean Sq    F value    Pr(>F)
x       1    23.4034    23.4034    1229.1    < 2.2e-16 ***
Residuals 63     1.1996     0.0190
```

Signif. codes: 0 '***' 0.001 '**' 0.01 '*' 0.05 '.' 0.1 ' ' 1

Call:
> lm(formula = y ~ x)

```
Residuals:
Min       1Q   Median       3Q      Max
-0.43820  -0.07101  -0.01857   0.07182   0.31587
```

```
Coefficients:
      Estimate   Std. Error  t value    Pr(>|t|)
(Intercept) -2.26806    0.12758   -17.78    <2e-16 ***
x            0.75943    0.02166    35.06    <2e-16 ***
---

```

Signif. codes: 0 '***' 0.001 '**' 0.01 '*' 0.05 '.' 0.1 ' ' 1

Residual standard error: 0.138 on 63 degrees of freedom
Multiple R-Squared: 0.9512, Adjusted R-squared: 0.9505
F-statistic: 1229 on 1 and 63 DF, p-value: < 2.2e-16

Pearson's product-moment correlation

t = 35.0583, df = 63, p-value < 2.2e-16
alternative hypothesis: true correlation is not equal to 0
95 percent confidence interval:
0.959712 0.984923
sample estimates:
cor
0.9753161

Log-lineare Regression für Chrom

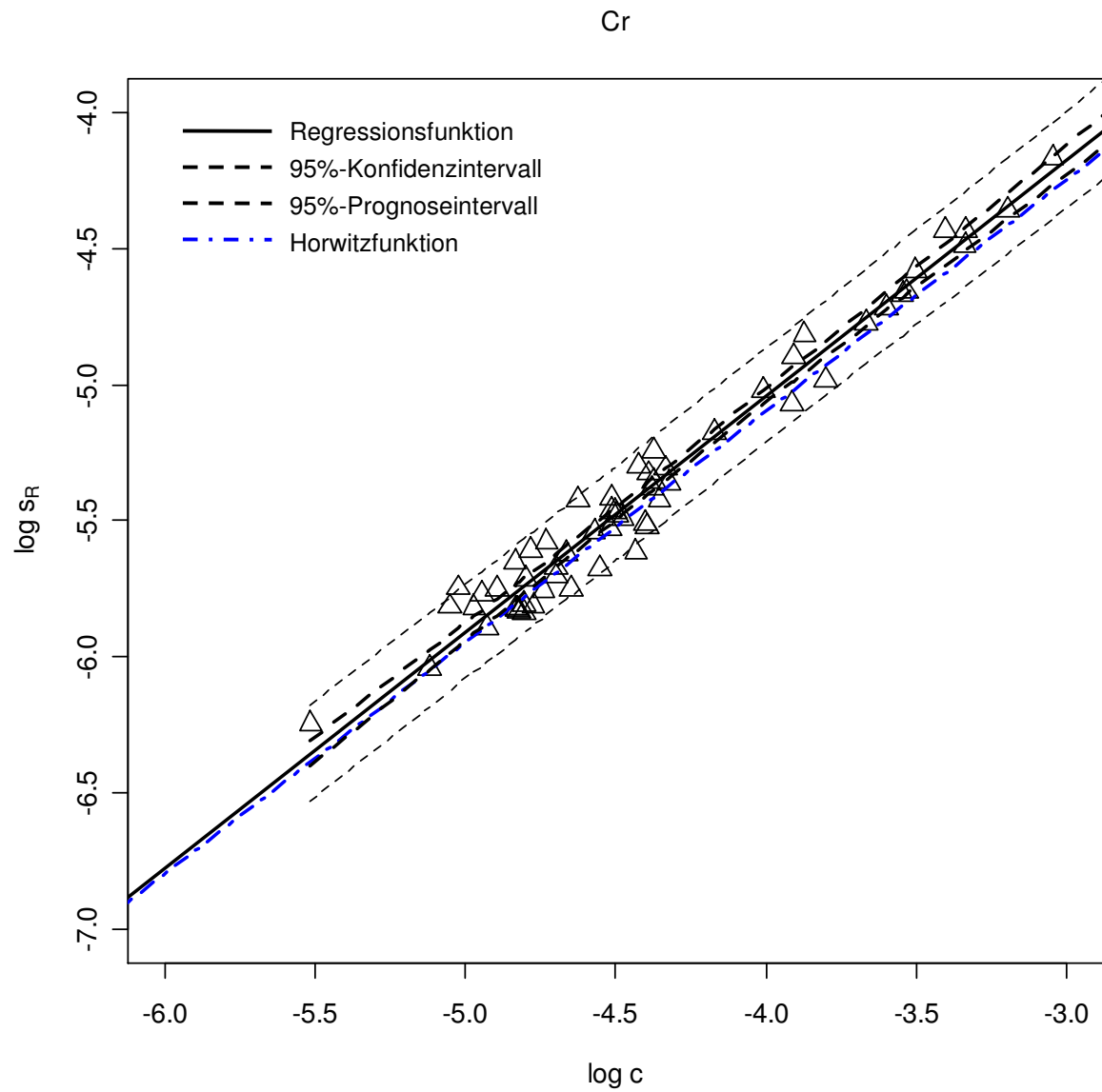


Abbildung A 3: Vergleichsstandardabweichung s_R aus Ringversuchen über die Bodengehalte c der Ringversuchsproben für **Chrom** (s_R, c in Massefraktion $1 \text{ mg/kg} = 10^{-6}$).

Anhang

Analysis of Variance Table – Chrom

Response: y

	Df	Sum Sq	Mean Sq	F value	Pr(>F)
x	1	16.4128	16.4128	2263.7	< 2.2e-16 ***
Residuals	58	0.4205	0.0073		

Signif. codes: 0 '***' 0.001 '**' 0.01 '*' 0.05 '.' 0.1 ' ' 1

Call:

lm(formula = y ~ x)

Residuals:

Min	1Q	Median	3Q	Max
-0.197402	-0.058764	-0.007714	0.065694	0.179086

Coefficients:

	Estimate	Std. Error	t value	Pr(> t)
(Intercept)	-1.56970	0.08005	-19.61	<2e-16 ***
x	0.86735	0.01823	47.58	<2e-16 ***

Signif. codes: 0 '***' 0.001 '**' 0.01 '*' 0.05 '.' 0.1 ' ' 1

Residual standard error: 0.08515 on 58 degrees of freedom

Multiple R-Squared: 0.975, Adjusted R-squared: 0.9746

F-statistic: 2264 on 1 and 58 DF, p-value: < 2.2e-16

Pearson's product-moment correlation

data: x and y

t = 47.5782, df = 58, p-value < 2.2e-16

alternative hypothesis: true correlation is not equal to 0

95 percent confidence interval:

0.9789638 0.9925019

sample estimates:

cor
0.98743

Log-lineare Regression für Kupfer

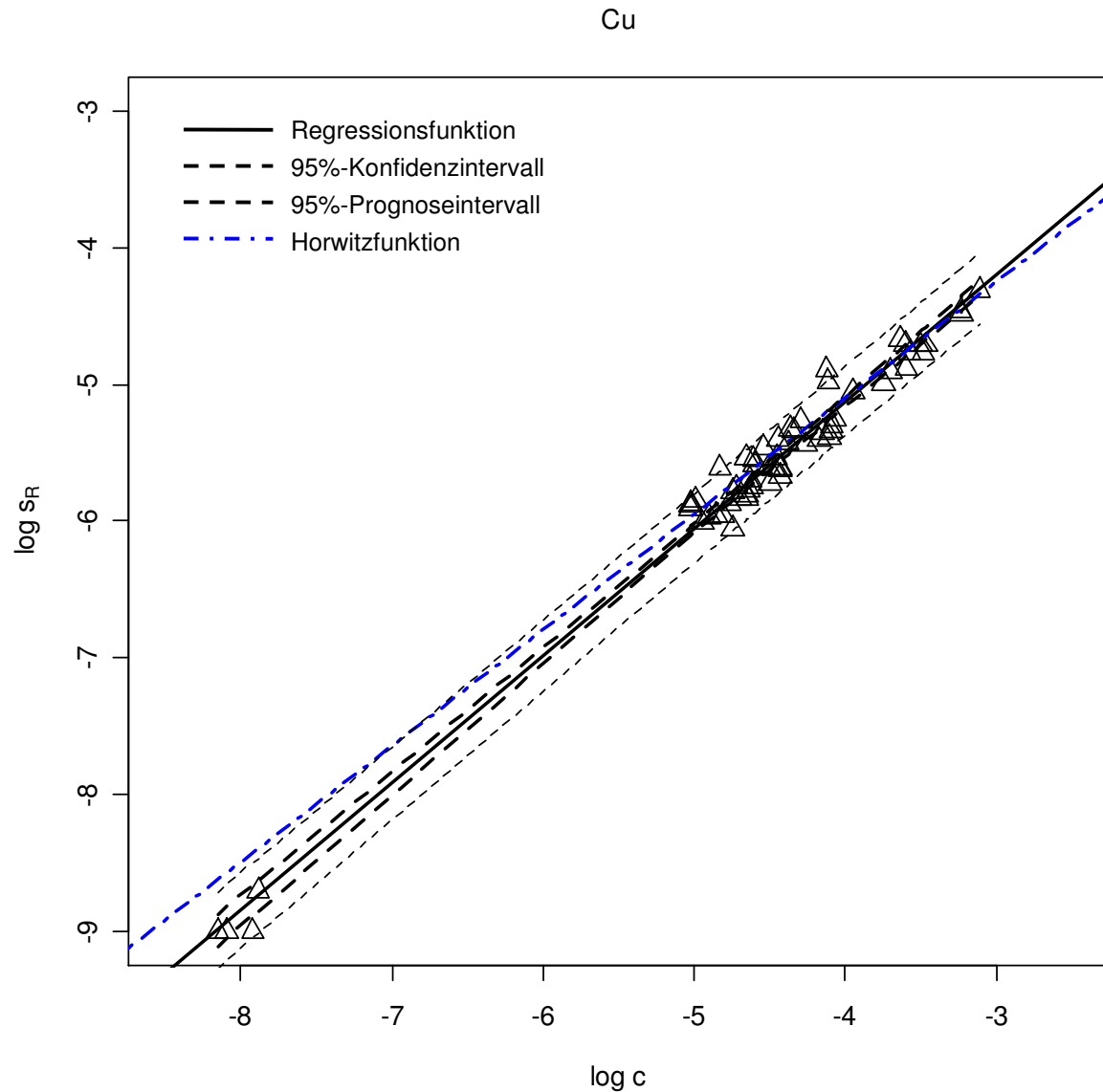


Abbildung A 4: Vergleichsstandardabweichung s_R aus Ringversuchen über die Bodengehalte c der Ringversuchsproben für **Kupfer** (s_R , c in Massefraktion $1 \text{ mg/kg} = 10^{-6}$).

Anhang

Analysis of Variance Table - Kupfer

Response: y

	Df	Sum Sq	Mean Sq	F value	Pr(>F)
x	1	56.803	56.803	3554.9	< 2.2e-16 ***
Residuals	59	0.943	0.016		

Signif. codes: 0 '***' 0.001 '**' 0.01 '*' 0.05 '.' 0.1 ' ' 1

Call:

lm(formula = y ~ x)

Residuals:

Min	1Q	Median	3Q	Max
-0.23579	-0.08490	-0.04232	0.09498	0.34393

Coefficients:

	Estimate	Std. Error	t value	Pr(> t)
(Intercept)	-1.40854	0.07277	-19.36	<2e-16 ***
x	0.92905	0.01558	59.62	<2e-16 ***

Signif. codes: 0 '***' 0.001 '**' 0.01 '*' 0.05 '.' 0.1 ' ' 1

Residual standard error: 0.1264 on 59 degrees of freedom
Multiple R-Squared: 0.9837, Adjusted R-squared: 0.9834
F-statistic: 3555 on 1 and 59 DF, p-value: < 2.2e-16

Pearson's product-moment correlation

data: x and y

t = 59.6231, df = 59, p-value < 2.2e-16

alternative hypothesis: true correlation is not equal to 0

95 percent confidence interval:

0.9863237 0.9950931

sample estimates:

cor
0.9918035

Log-lineare Regression für Nickel

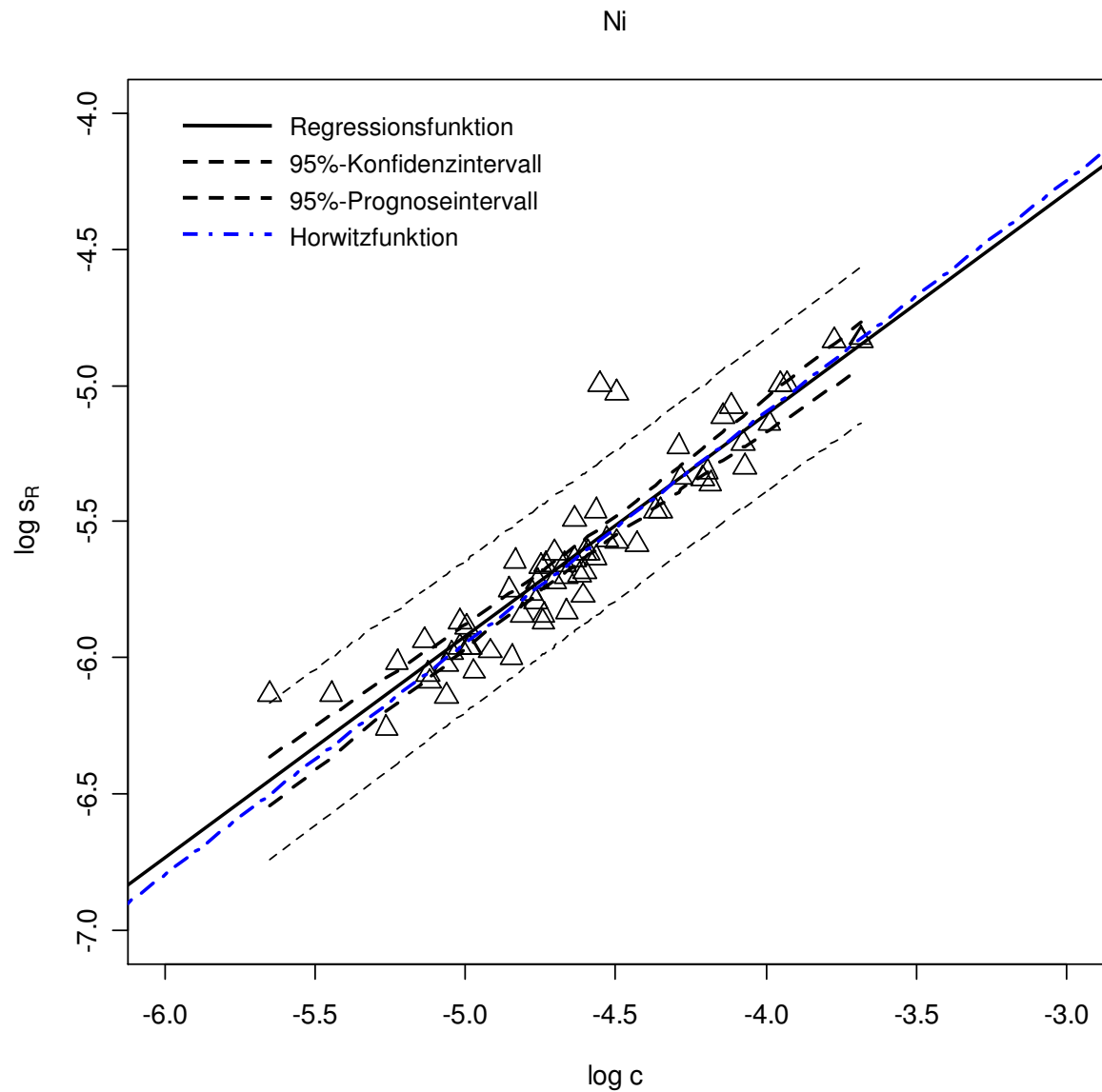


Abbildung A 5: Vergleichsstandardabweichung s_R aus Ringversuchen über die Bodengehalte c der Ringversuchsproben für **Nickel** (s_R, c in Massefraktion $1 \text{ mg/kg} = 10^{-6}$).

Anhang

Analysis of Variance Table - Nickel

Response: y

	Df	Sum Sq	Mean Sq	F value	Pr(>F)
x	1	7.2637	7.2637	386.69	< 2.2e-16 ***
Residuals	62	1.1646	0.0188		

Signif. codes: 0 '***' 0.001 '**' 0.01 '*' 0.05 '.' 0.1 ' ' 1

Call:

lm(formula = y ~ x)

Residuals:

Min	1Q	Median	3Q	Max
-0.20287	-0.06813	-0.02734	0.05744	0.56242

Coefficients:

	Estimate	Std. Error	t value	Pr(> t)
(Intercept)	-1.8505	0.1924	-9.616	6.63e-14 ***
x	0.8141	0.0414	19.664	< 2e-16 ***

Signif. codes: 0 '***' 0.001 '**' 0.01 '*' 0.05 '.' 0.1 ' ' 1

Residual standard error: 0.1371 on 62 degrees of freedom
Multiple R-Squared: 0.8618, Adjusted R-squared: 0.8596
F-statistic: 386.7 on 1 and 62 DF, p-value: < 2.2e-16

Pearson's product-moment correlation

data: x and y

t = 19.6645, df = 62, p-value < 2.2e-16

alternative hypothesis: true correlation is not equal to 0

95 percent confidence interval:

0.8843343 0.9559978

sample estimates:

cor

0.9283427

Log-lineare Regression für Blei

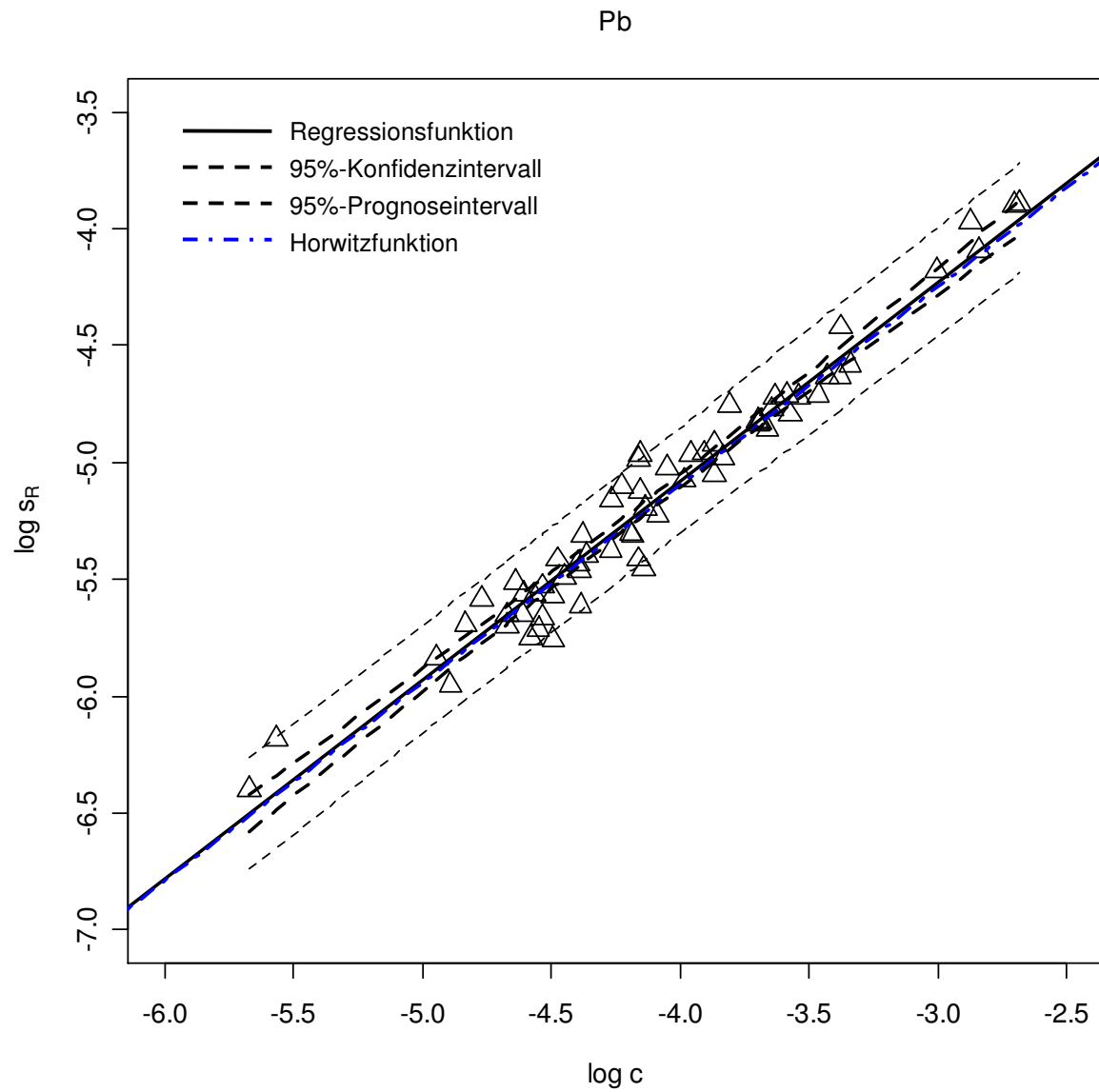


Abbildung A 6: Vergleichsstandardabweichung s_R aus Ringversuchen über die Bodengehalte c der Ringversuchsproben für **Blei** (s_R, c in Massefraktion $1 \text{ mg/kg} = 10^{-6}$).

Anhang

Analysis of Variance Table - Blei

Response: y

	Df	Sum Sq	Mean Sq	F value	Pr(>F)
x	1	17.1042	17.1042	1364.7	< 2.2e-16 ***
Residuals	62	0.7771	0.0125		

Signif. codes: 0 '***' 0.001 '**' 0.01 '*' 0.05 '.' 0.1 ' ' 1

Call:

lm(formula = y ~ x)

Residuals:

Min	1Q	Median	3Q	Max
-0.259635	-0.070581	-0.006605	0.074545	0.246283

Coefficients:

	Estimate	Std. Error	t value	Pr(> t)
(Intercept)	-1.66621	0.09543	-17.46	<2e-16 ***
x	0.85276	0.02308	36.94	<2e-16 ***

Signif. codes: 0 '***' 0.001 '**' 0.01 '*' 0.05 '.' 0.1 ' ' 1

Residual standard error: 0.112 on 62 degrees of freedom

Multiple R-Squared: 0.9565, Adjusted R-squared: 0.9558

F-statistic: 1365 on 1 and 62 DF, p-value: < 2.2e-16

Pearson's product-moment correlation

data: x and y

t = 36.9416, df = 62, p-value < 2.2e-16

alternative hypothesis: true correlation is not equal to 0

95 percent confidence interval:

0.9639668 0.9866418

sample estimates:

cor
0.97803

Log-lineare Regression für Quecksilber

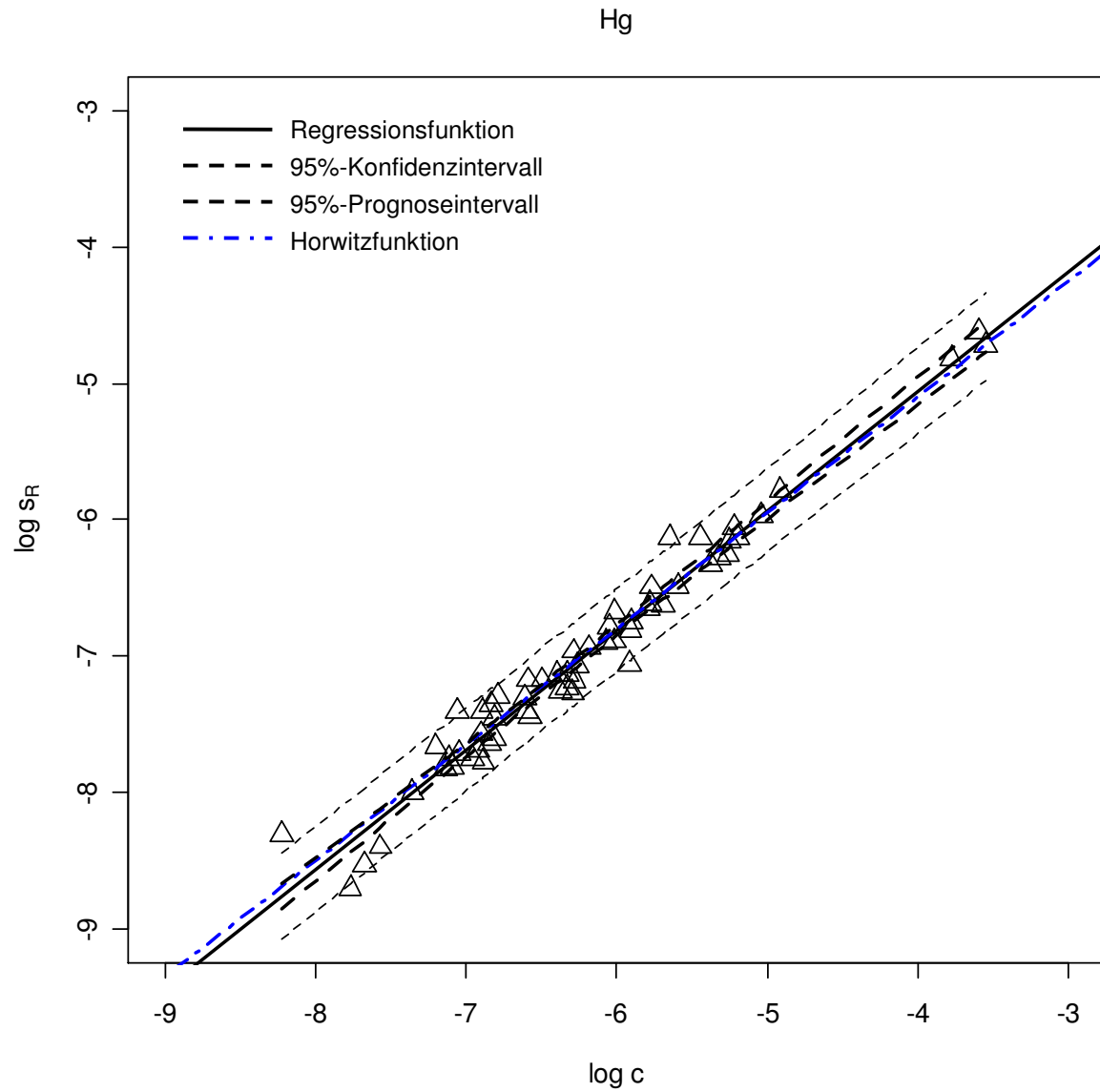


Abbildung A 7: Vergleichsstandardabweichung s_R aus Ringversuchen über die Bodengehalte c der Ringversuchsproben für **Quecksilber** (s_R, c in Massefraktion $1 \text{ mg/kg} = 10^{-6}$).

Anhang

Analysis of Variance Table - Quecksilber

Response: y

	Df	Sum Sq	Mean Sq	F value	Pr(>F)
x	1	40.343	40.343	1812.2	< 2.2e-16 ***
Residuals	58	1.291	0.022		

Signif. codes: 0 '***' 0.001 '**' 0.01 '*' 0.05 '.' 0.1 ' ' 1

Call:

lm(formula = y ~ x)

Residuals:

Min	1Q	Median	3Q	Max
-0.34051	-0.07947	-0.02208	0.06647	0.45428

Coefficients:

	Estimate	Std. Error	t value	Pr(> t)
(Intercept)	-1.54148	0.12979	-11.88	<2e-16 ***
x	0.87740	0.02061	42.57	<2e-16 ***

Signif. codes: 0 '***' 0.001 '**' 0.01 '*' 0.05 '.' 0.1 ' ' 1

Residual standard error: 0.1492 on 58 degrees of freedom
Multiple R-Squared: 0.969, Adjusted R-squared: 0.9685
F-statistic: 1812 on 1 and 58 DF, p-value: < 2.2e-16

Pearson's product-moment correlation

data: x and y

t = 42.5695, df = 58, p-value < 2.2e-16

alternative hypothesis: true correlation is not equal to 0

95 percent confidence interval:

0.9738717 0.9906714

sample estimates:

cor

0.9843712

Log-lineare Regression für Zink

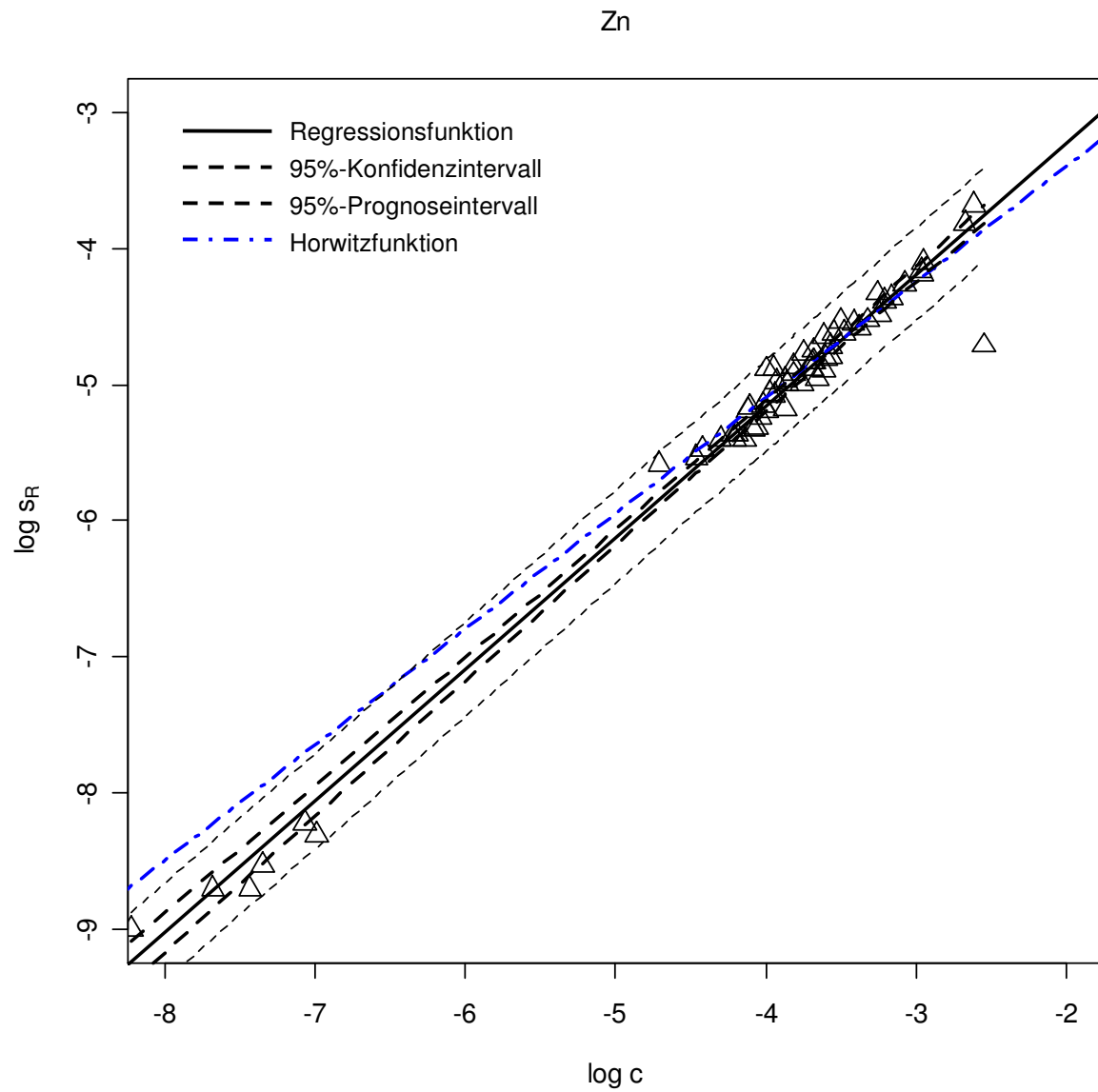


Abbildung A 8: Vergleichsstandardabweichung s_R aus Ringversuchen über die Bodengehalte c der Ringversuchsproben für **Zink** (s_R, c in Massefraktion $1 \text{ mg/kg} = 10^{-6}$).

Anhang

Analysis of Variance Table - Zink

Response: y

	Df	Sum Sq	Mean Sq	F value	Pr(>F)
x	1	83.618	83.618	3039.4	< 2.2e-16 ***
Residuals	58	1.596	0.028		

Signif. codes: 0 '***' 0.001 '**' 0.01 '*' 0.05 '.' 0.1 ' ' 1

Call:

lm(formula = y ~ x)

Residuals:

Min	1Q	Median	3Q	Max
-0.96078	-0.04565	0.01743	0.07764	0.26560

Coefficients:

	Estimate	Std. Error	t value	Pr(> t)
(Intercept)	-1.28329	0.07456	-17.21	<2e-16 ***
x	0.96759	0.01755	55.13	<2e-16 ***

Signif. codes: 0 '***' 0.001 '**' 0.01 '*' 0.05 '.' 0.1 ' ' 1

Residual standard error: 0.1659 on 58 degrees of freedom

Multiple R-Squared: 0.9813, Adjusted R-squared: 0.981

F-statistic: 3039 on 1 and 58 DF, p-value: < 2.2e-16

Pearson's product-moment correlation

data: x and y

t = 55.1306, df = 58, p-value < 2.2e-16

alternative hypothesis: true correlation is not equal to 0

95 percent confidence interval:

0.9842402 0.9943922

sample estimates:

cor

0.990593

Log-lineare Regression für Naphthalin

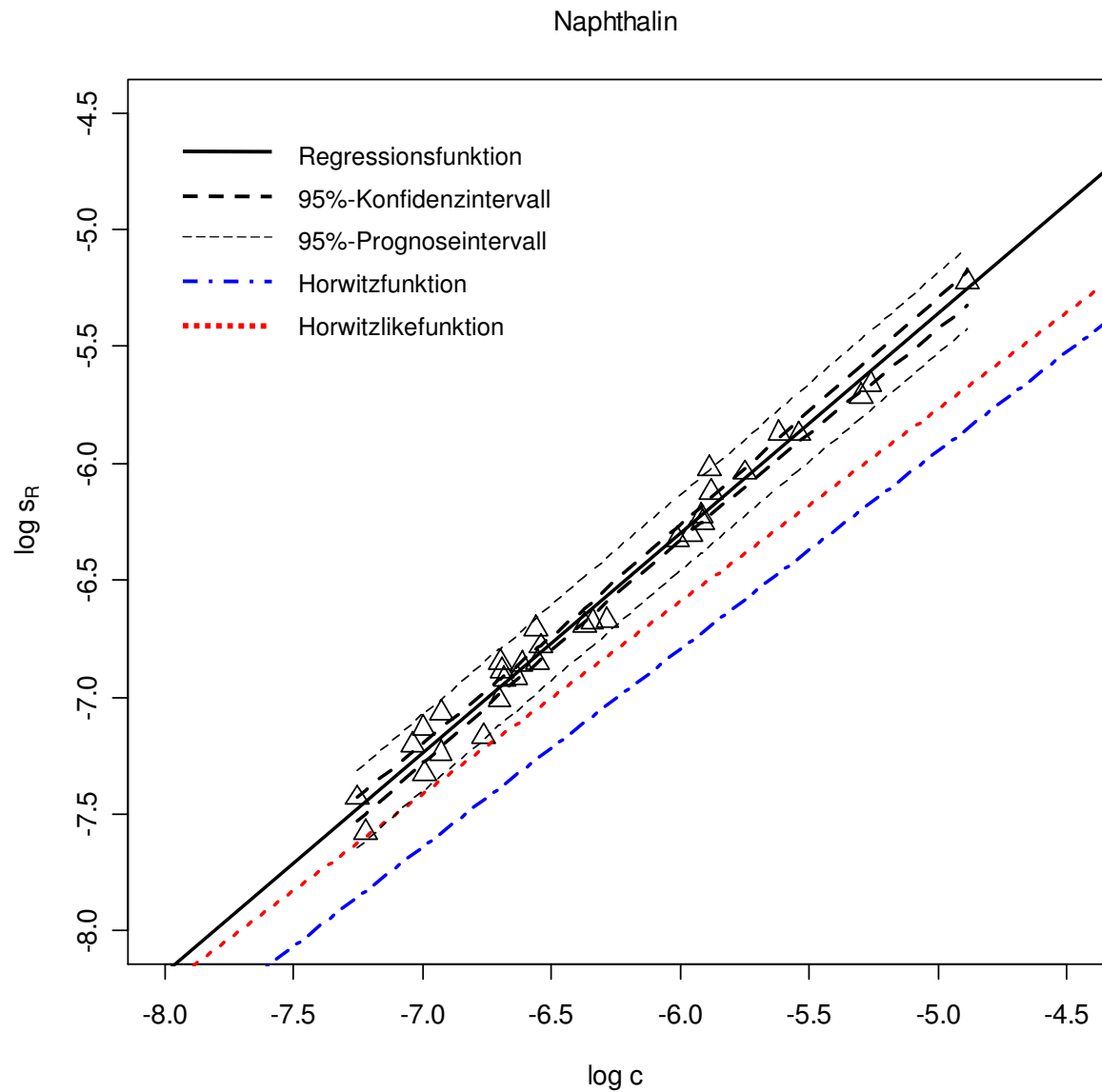


Abbildung A 9: Vergleichsstandardabweichung s_R aus Ringversuchen über die Bodengehalte c der Ringversuchsproben für **Naphthalin** (s_R, c in Massefraktion $1 \text{ mg/kg} = 10^{-6}$).

Anhang

Analysis of Variance Table - Naphthalin

Response: y

	Df	Sum Sq	Mean Sq	F value	Pr(>F)
x	1	10.2304	10.2304	1685.3	< 2.2e-16 ***
Residuals	30	0.1821	0.0061		

Signif. codes: 0 '***' 0.001 '**' 0.01 '*' 0.05 '.' 0.1 ' ' 1

Call:

lm(formula = y ~ x)

Residuals:

Min	1Q	Median	3Q	Max
-0.152204	-0.052072	-0.007404	0.058394	0.169875

Coefficients:

	Estimate	Std. Error	t value	Pr(> t)
(Intercept)	-0.64240	0.14609	-4.397	0.000127 ***
x	0.94255	0.02296	41.053	< 2e-16 ***

Signif. codes: 0 '***' 0.001 '**' 0.01 '*' 0.05 '.' 0.1 ' ' 1

Residual standard error: 0.07791 on 30 degrees of freedom

Multiple R-Squared: 0.9825, Adjusted R-squared: 0.9819

F-statistic: 1685 on 1 and 30 DF, p-value: < 2.2e-16

Pearson's product-moment correlation

data: x and y

t = 41.0529, df = 30, p-value < 2.2e-16

alternative hypothesis: true correlation is not equal to 0

95 percent confidence interval:

0.9818973 0.9957488

sample estimates:

cor

0.9912168

Log-lineare Regression für Acenaphthylen

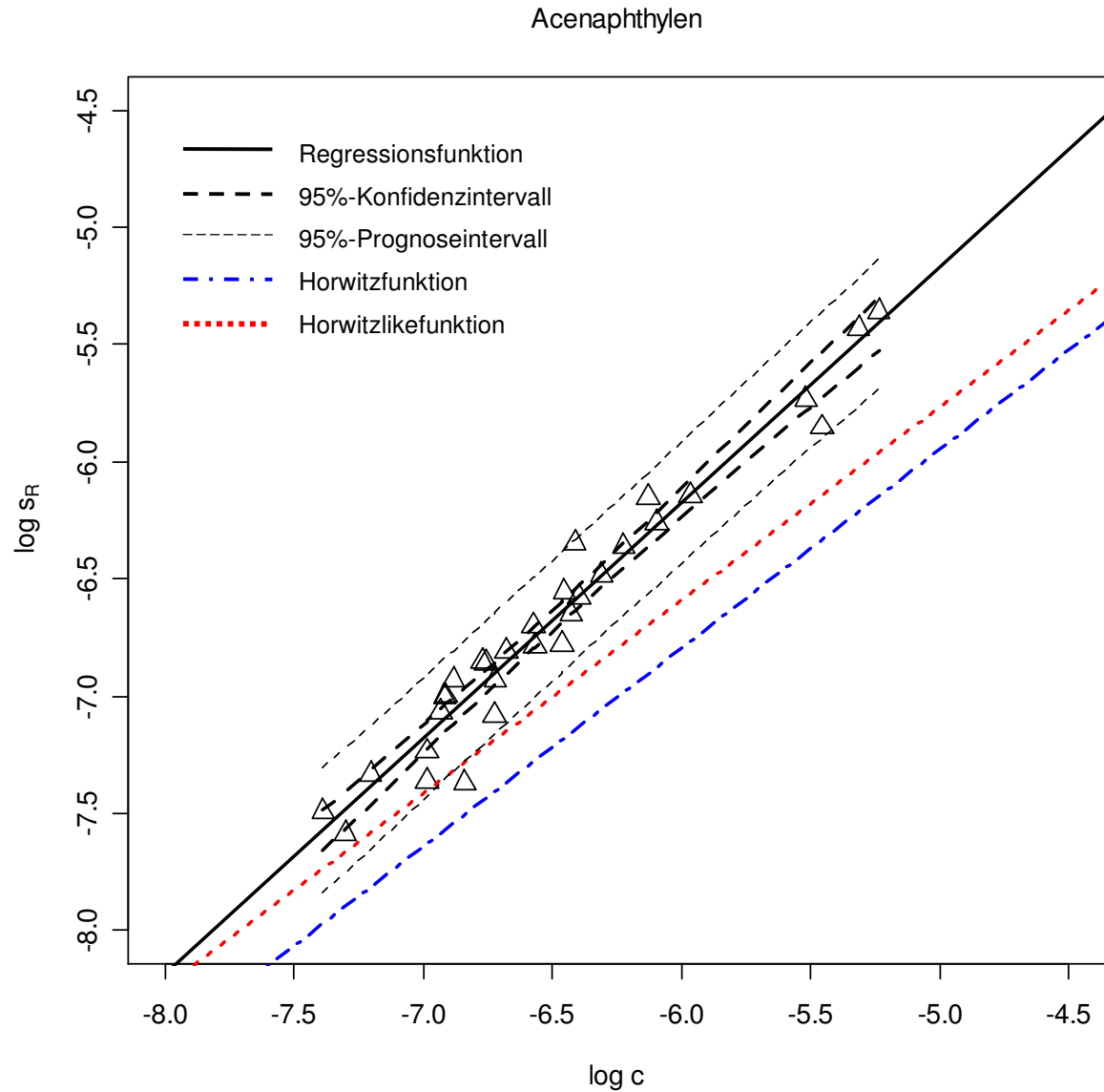


Abbildung A 10: Vergleichsstandardabweichung s_R aus Ringversuchen über die Bodengehalte c der Ringversuchsproben für **Acenaphthylen** (s_R, c in Massefraktion, $1 \text{ mg/kg} = 10^{-6}$).

Anhang

Analysis of Variance Table - Acenaphthylen

Response: y

	Df	Sum Sq	Mean Sq	F value	Pr(>F)
x	1	9.3648	9.3648	613.48	< 2.2e-16 ***
Residuals	29	0.4427	0.0153		

Signif. codes: 0 '***' 0.001 '**' 0.01 '*' 0.05 '.' 0.1 ' ' 1

Call:

lm(formula = y ~ x)

Residuals:

Min	1Q	Median	3Q	Max
-0.34861	-0.04302	0.04097	0.07560	0.24167

Coefficients:

	Estimate	Std. Error	t value	Pr(> t)
(Intercept)	-0.13768	0.26510	-0.519	0.607
x	1.00641	0.04063	24.768	<2e-16 ***

Signif. codes: 0 '***' 0.001 '**' 0.01 '*' 0.05 '.' 0.1 ' ' 1

Residual standard error: 0.1236 on 29 degrees of freedom
Multiple R-Squared: 0.9549, Adjusted R-squared: 0.9533
F-statistic: 613.5 on 1 and 29 DF, p-value: < 2.2e-16

Pearson's product-moment correlation

data: x and y

t = 24.7685, df = 29, p-value < 2.2e-16

alternative hypothesis: true correlation is not equal to 0

95 percent confidence interval:

0.9527053 0.9890510

sample estimates:

cor

0.9771705

Log-lineare Regression für Acenaphthen

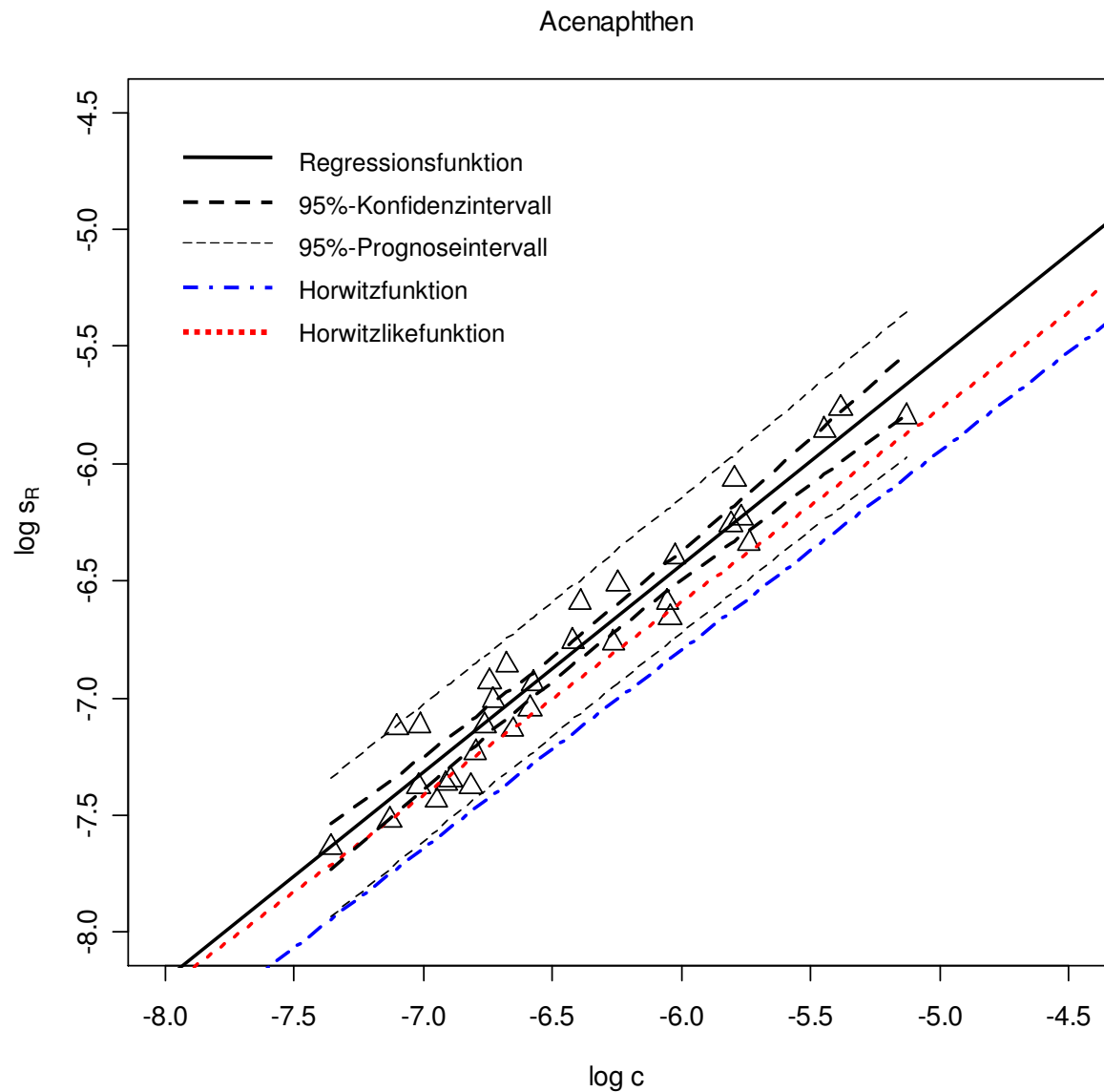


Abbildung A 11: Vergleichsstandardabweichung s_R aus Ringversuchen über die Bodengehalte c der Ringversuchsproben für **Acenaphthen** (s_R, c in Massefraktion, $1 \text{ mg/kg} = 10^{-6}$).

Anhang

Analysis of Variance Table - Acenaphthen

Response: y

	Df	Sum Sq	Mean Sq	F value	Pr(>F)
x	1	7.7906	7.7906	411.31	< 2.2e-16 ***
Residuals	29	0.5493	0.0189		

Signif. codes: 0 '***' 0.001 '**' 0.01 '*' 0.05 '.' 0.1 ' ' 1

Call:

lm(formula = y ~ x)

Residuals:

Min	1Q	Median	3Q	Max
-0.2201636	-0.1171999	-0.0007695	0.1036787	0.2847099

Coefficients:

	Estimate	Std. Error	t value	Pr(> t)
(Intercept)	-1.10859	0.28233	-3.927	0.000488 ***
x	0.88741	0.04376	20.281	< 2e-16 ***

Signif. codes: 0 '***' 0.001 '**' 0.01 '*' 0.05 '.' 0.1 ' ' 1

Residual standard error: 0.1376 on 29 degrees of freedom

Multiple R-Squared: 0.9341, Adjusted R-squared: 0.9319

F-statistic: 411.3 on 1 and 29 DF, p-value: < 2.2e-16

Pearson's product-moment correlation

data: x and y

t = 20.2807, df = 29, p-value < 2.2e-16

alternative hypothesis: true correlation is not equal to 0

95 percent confidence interval:

0.9310139 0.9838918

sample estimates:

cor

0.9665075

Log-lineare Regression für Fluoren

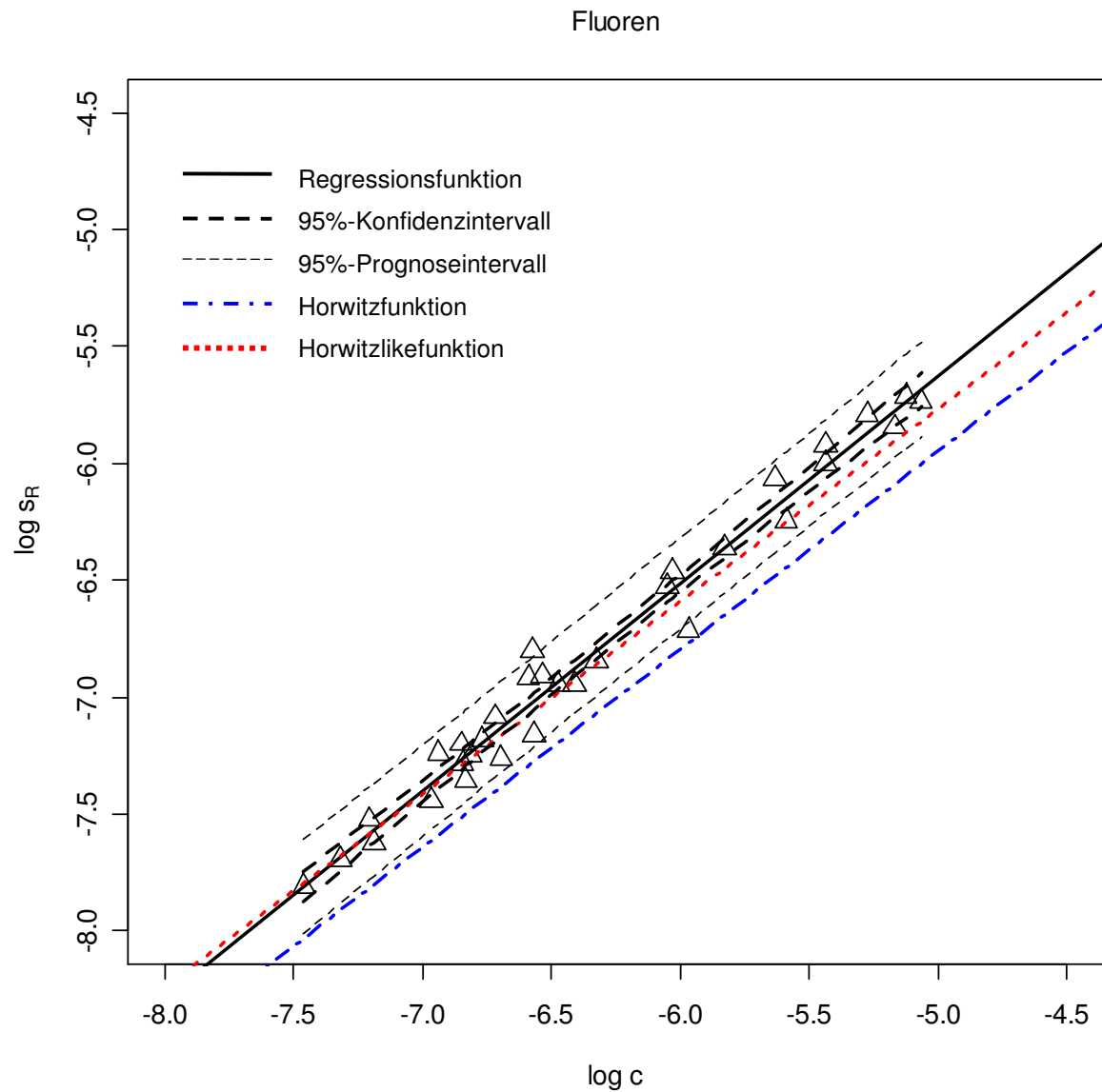


Abbildung A 12: Vergleichsstandardabweichung s_R aus Ringversuchen über die Bodengehalte c der Ringversuchsproben Fluoren (s_R, c in Massefraktion, $1 \text{ mg/kg} = 10^{-6}$).

Anhang

Analysis of Variance Table - Fluoren

Response: y

	Df	Sum Sq	Mean Sq	F value	Pr(>F)
x	1	11.8089	11.8089	1349.3	< 2.2e-16 ***
Residuals	30	0.2626	0.0088		

Signif. codes: 0 '***' 0.001 '**' 0.01 '*' 0.05 '.' 0.1 ' ' 1

Call:

lm(formula = y ~ x)

Residuals:

Min	1Q	Median	3Q	Max
-0.228087	-0.058069	-0.002124	0.069630	0.217633

Coefficients:

	Estimate	Std. Error	t value	Pr(> t)
(Intercept)	-1.18324	0.15403	-7.682	1.44e-08 ***
x	0.88819	0.02418	36.733	< 2e-16 ***

Signif. codes: 0 '***' 0.001 '**' 0.01 '*' 0.05 '.' 0.1 ' ' 1

Residual standard error: 0.09355 on 30 degrees of freedom

Multiple R-Squared: 0.9783, Adjusted R-squared: 0.9775

F-statistic: 1349 on 1 and 30 DF, p-value: < 2.2e-16

Pearson's product-moment correlation

data: x and y

t = 36.7332, df = 30, p-value < 2.2e-16

alternative hypothesis: true correlation is not equal to 0

95 percent confidence interval:

0.9774888 0.9947045

sample estimates:

cor
0.9890653

Log-lineare Regression für Phenanthren

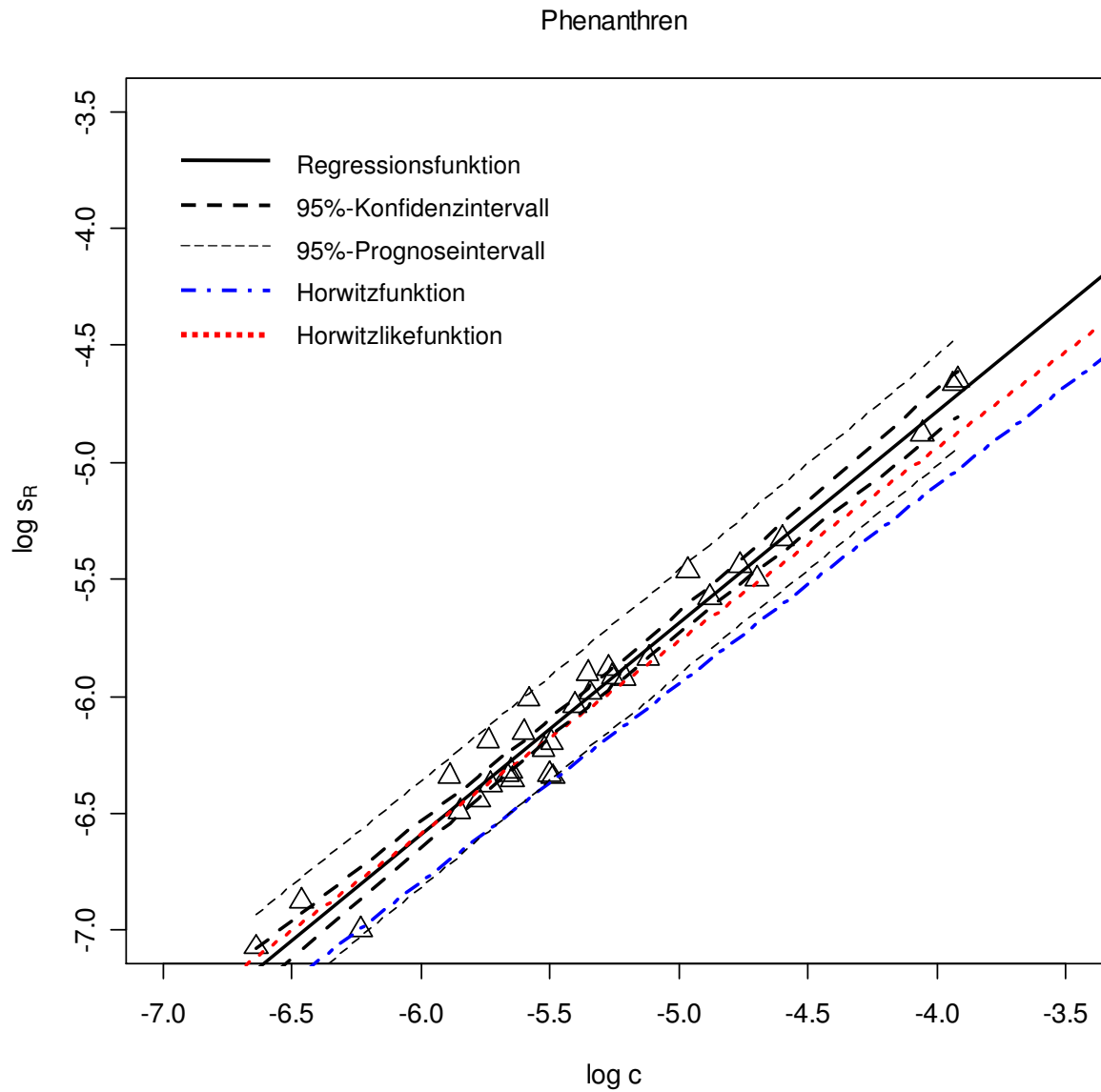


Abbildung A 13: Vergleichsstandardabweichung s_R aus Ringversuchen über die Bodengehalte c der Ringversuchsproben für **Phenanthren** (s_R, c in Massefraktion, $1 \text{ mg/kg} = 10^{-6}$).

Anhang

Analysis of Variance Table - Phenanthren

Response: y

	Df	Sum Sq	Mean Sq	F value	Pr(>F)
x	1	10.4008	10.4008	904.67	< 2.2e-16 ***
Residuals	30	0.3449	0.0115		

Signif. codes: 0 '***' 0.001 '**' 0.01 '*' 0.05 '.' 0.1 ' ' 1

Call:

lm(formula = y ~ x)

Residuals:

Min	1Q	Median	3Q	Max
-0.219253	-0.051908	-0.004009	0.062384	0.198656

Coefficients:

	Estimate	Std. Error	t value	Pr(> t)
(Intercept)	-1.15509	0.16227	-7.118	6.44e-08 ***
x	0.90577	0.03011	30.078	< 2e-16 ***

Signif. codes: 0 '***' 0.001 '**' 0.01 '*' 0.05 '.' 0.1 ' ' 1

Residual standard error: 0.1072 on 30 degrees of freedom
Multiple R-Squared: 0.9679, Adjusted R-squared: 0.9668
F-statistic: 904.7 on 1 and 30 DF, p-value: < 2.2e-16

Pearson's product-moment correlation

data: x and y

t = 30.0777, df = 30, p-value < 2.2e-16

alternative hypothesis: true correlation is not equal to 0

95 percent confidence interval:

0.9667842 0.9921539

sample estimates:

cor

0.9838206

Log-lineare Regression für Anthracen

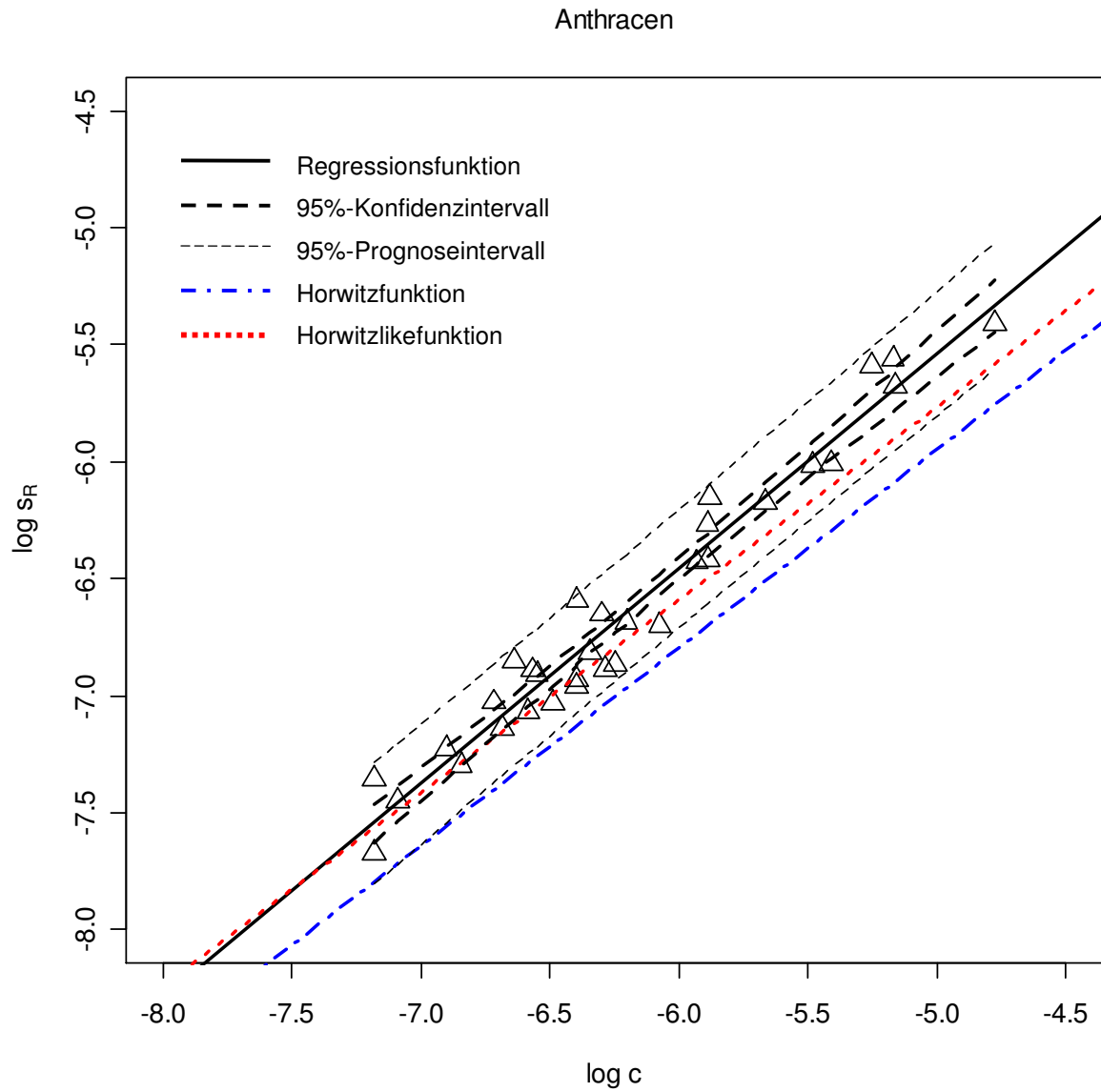


Abbildung A 14: Vergleichsstandardabweichung s_R aus Ringversuchen über die Bodengehalte c der Ringversuchsproben für **Anthracen** (s_R, c in Massefraktion, $1 \text{ mg/kg} = 10^{-6}$).

Anhang

Analysis of Variance Table - Anthracen

Response: y

	Df	Sum Sq	Mean Sq	F value	Pr(>F)
x	1	9.9965	9.9965	681	2.2e-16 ***
Residuals	30	0.4404	0.0147		

Signif. codes: 0 '***' 0.001 '**' 0.01 '*' 0.05 '.' 0.1 ' ' 1

Call:

lm(formula = y ~ x)

Residuals:

Min	1Q	Median	3Q	Max
-0.17743	-0.07975	-0.03627	0.08738	0.22949

Coefficients:

	Estimate	Std. Error	t value	Pr(> t)
(Intercept)	-0.94572	0.21955	-4.308	0.000163 ***
x	0.91884	0.03521	26.096	< 2e-16 ***

Signif. codes: 0 '***' 0.001 '**' 0.01 '*' 0.05 '.' 0.1 ' ' 1

Residual standard error: 0.1212 on 30 degrees of freedom
Multiple R-Squared: 0.9578, Adjusted R-squared: 0.9564
F-statistic: 681 on 1 and 30 DF, p-value: < 2.2e-16

Pearson's product-moment correlation

data: x and y

t = 26.0961, df = 30, p-value < 2.2e-16

alternative hypothesis: true correlation is not equal to 0

95 percent confidence interval:

0.9563412 0.9896451

sample estimates:

cor

0.9786758

Log-lineare Regression für Fluoranthen

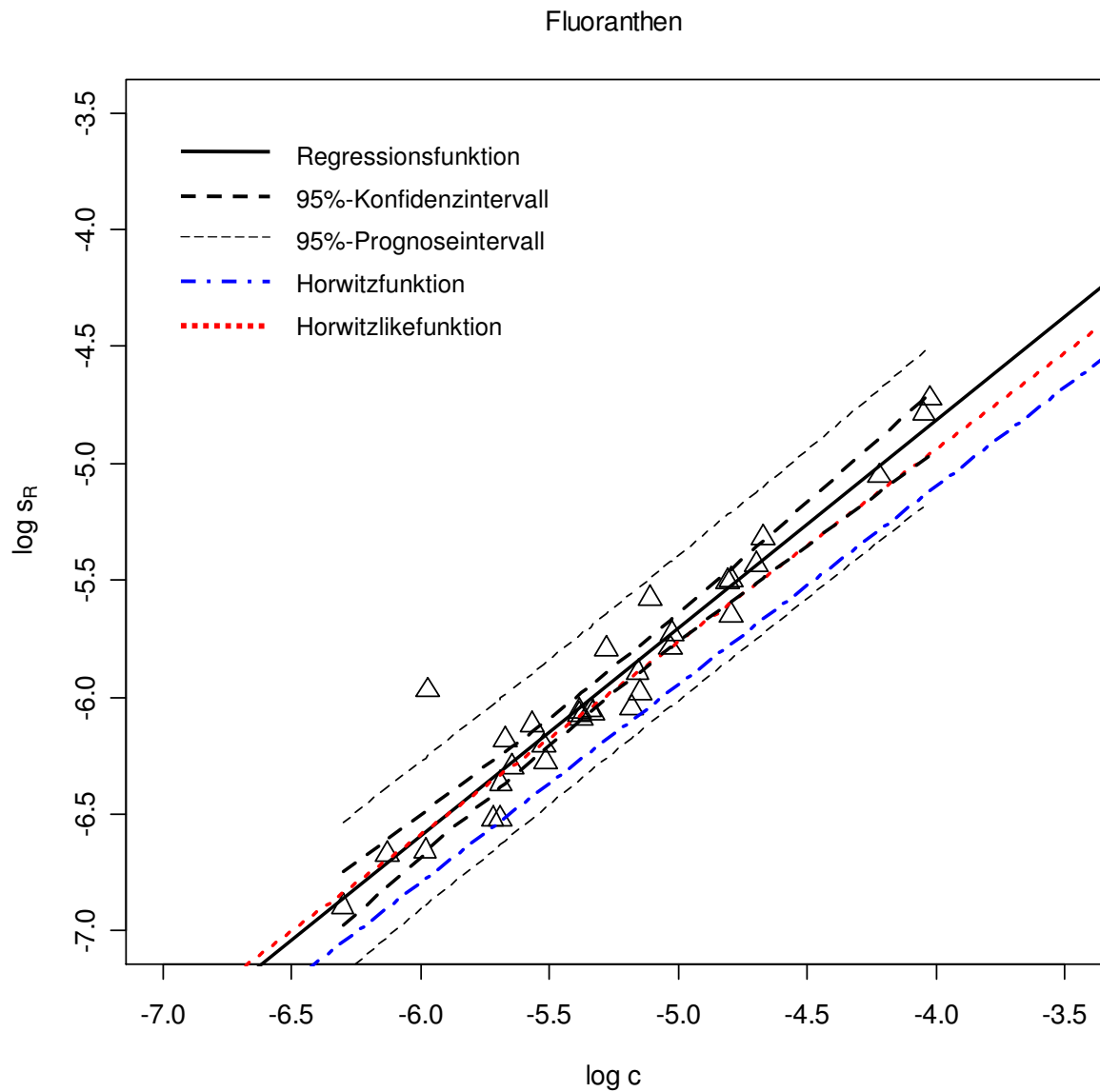


Abbildung A 15: Vergleichsstandardabweichung s_R aus Ringversuchen über die Bodengehalte c der Ringversuchsproben für **Fluoranthen** (s_R, c in Massefraktion, $1 \text{ mg/kg} = 10^{-6}$).

Anhang

Analysis of Variance Table - Fluoranthen

Response: y

	Df	Sum Sq	Mean Sq	F value	Pr(>F)
x	1	7.5790	7.5790	341.72	< 2.2e-16 ***
Residuals	30	0.6654	0.0222		

Signif. codes: 0 '***' 0.001 '**' 0.01 '*' 0.05 '.' 0.1 ' ' 1

Call:

lm(formula = y ~ x)

Residuals:

Min	1Q	Median	3Q	Max
-0.20037	-0.06250	-0.03259	0.04375	0.59637

Coefficients:

	Estimate	Std. Error	t value	Pr(> t)
(Intercept)	-1.25523	0.25437	-4.935	2.8e-05 ***
x	0.88964	0.04813	18.486	< 2e-16 ***

Signif. codes: 0 '***' 0.001 '**' 0.01 '*' 0.05 '.' 0.1 ' ' 1

Residual standard error: 0.1489 on 30 degrees of freedom
Multiple R-Squared: 0.9193, Adjusted R-squared: 0.9166
F-statistic: 341.7 on 1 and 30 DF, p-value: < 2.2e-16

Pearson's product-moment correlation - Fluoranthen

data: x and y

t = 18.4857, df = 30, p-value < 2.2e-16

alternative hypothesis: true correlation is not equal to 0

95 percent confidence interval:

0.9165230 0.9798888

sample estimates:

cor

0.9587984

Log-lineare Regression für Pyren

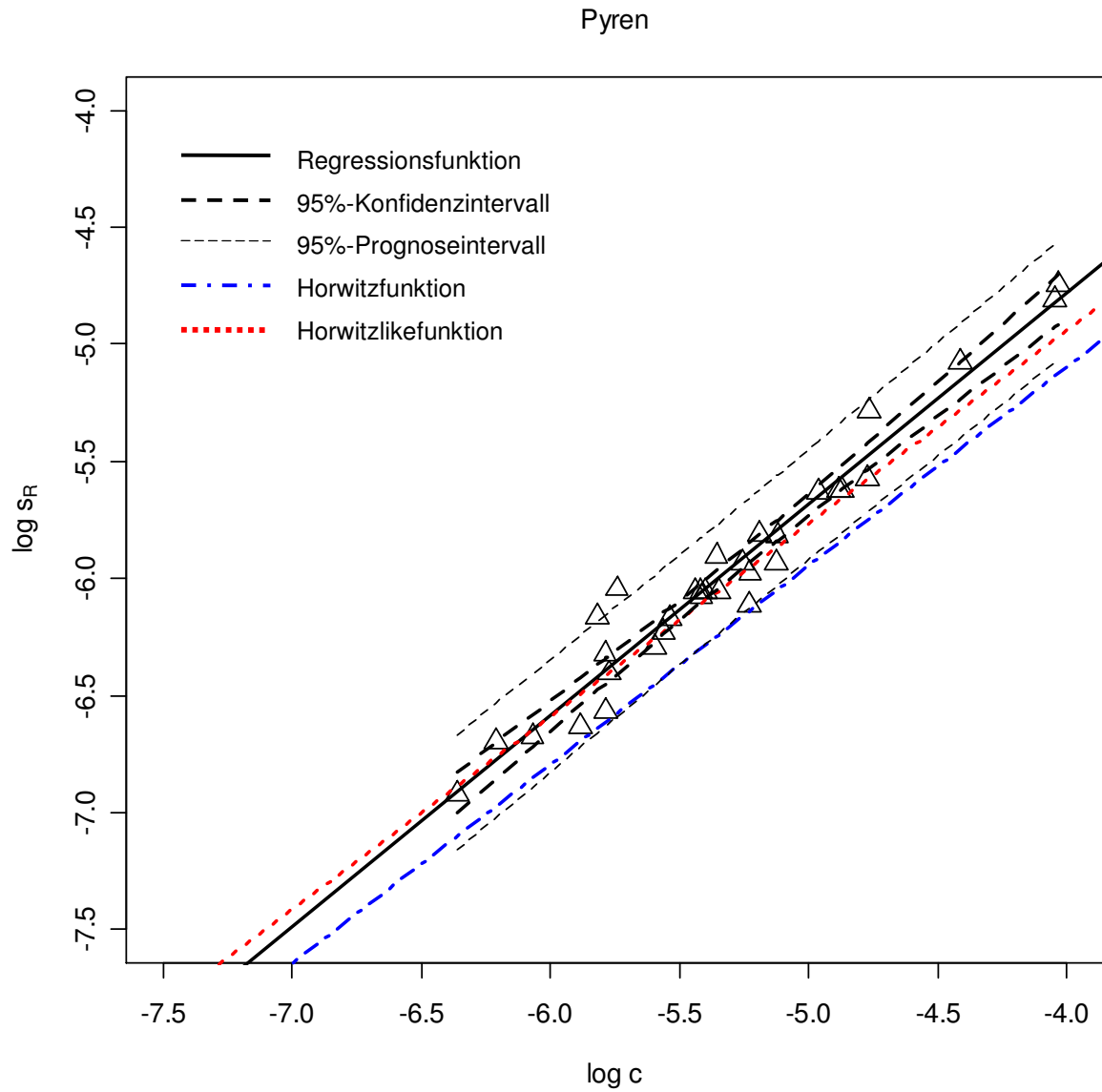


Abbildung A 16: Vergleichsstandardabweichung s_R aus Ringversuchen über die Bodengehalte c der Ringversuchsproben für **Pyren** (s_R , c in Massefraktion, $1 \text{ mg/kg} = 10^{-6}$).

Anhang

Analysis of Variance Table - Pyren

Response: y

	Df	Sum Sq	Mean Sq	F value	Pr(>F)
x	1	7.6614	7.6614	596.74	< 2.2e-16 ***
Residuals	30	0.3852	0.0128		

Signif. codes: 0 '***' 0.001 '**' 0.01 '*' 0.05 '.' 0.1 ' ' 1

Call:

lm(formula = y ~ x)

Residuals:

Min	1Q	Median	3Q	Max
-0.22036	-0.05578	-0.01391	0.05059	0.30861

Coefficients:

	Estimate	Std. Error	t value	Pr(> t)
(Intercept)	-1.1636	0.1981	-5.874	1.98e-06 ***
x	0.9040	0.0370	24.428	< 2e-16 ***

Signif. codes: 0 '***' 0.001 '**' 0.01 '*' 0.05 '.' 0.1 ' ' 1

Residual standard error: 0.1133 on 30 degrees of freedom
Multiple R-Squared: 0.9521, Adjusted R-squared: 0.9505
F-statistic: 596.7 on 1 and 30 DF, p-value: < 2.2e-16

Pearson's product-moment correlation

data: x and y

t = 24.4283, df = 30, p-value < 2.2e-16

alternative hypothesis: true correlation is not equal to 0

95 percent confidence interval:

0.9504746 0.9882267

sample estimates:

cor

0.9757732

Log-lineare Regression für Benzo(a)anthracen

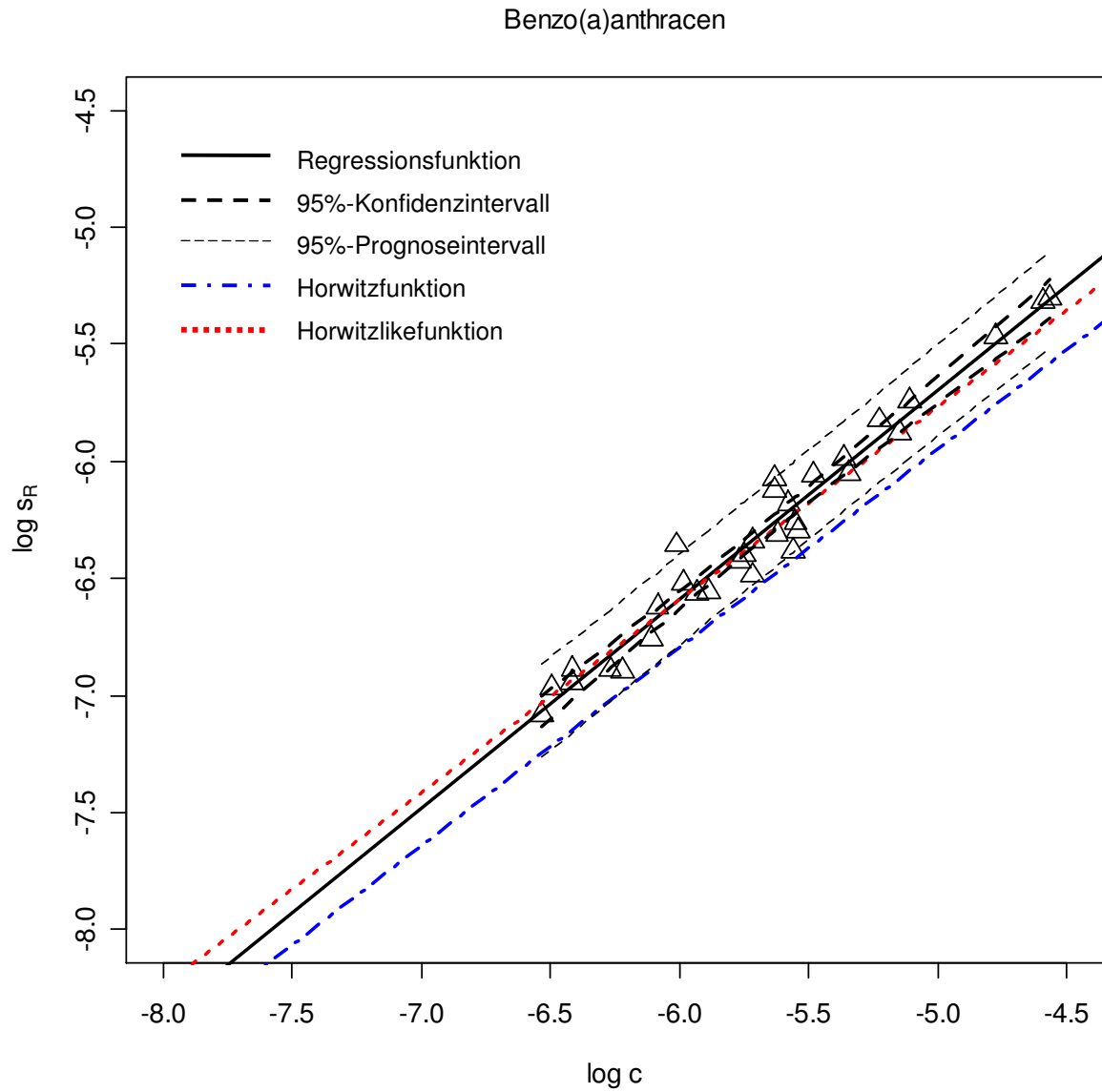


Abbildung A 17: Vergleichsstandardabweichung s_R aus Ringversuchen über die Bodengehalte c der Ringversuchsproben für **Benzo(a)anthracen** (s_R , c in Massefraktion, $1 \text{ mg/kg} = 10^{-6}$).

Anhang

Analysis of Variance Table – Benzo(a)anthracen

Response: y

	Df	Sum Sq	Mean Sq	F value	Pr(>F)
x	1	6.5225	6.5225	762.44	< 2.2e-16 ***
Residuals	30	0.2566	0.0086		

Signif. codes: 0 '***' 0.001 '**' 0.01 '*' 0.05 '.' 0.1 ' ' 1

Call:

lm(formula = y ~ x)

Residuals:

Min	1Q	Median	3Q	Max
-0.1865980	-0.0610504	0.0005947	0.0546086	0.2411961

Coefficients:

	Estimate	Std. Error	t value	Pr(> t)
(Intercept)	-1.22077	0.18508	-6.596	2.67e-07 ***
x	0.89485	0.03241	27.612	< 2e-16 ***

Signif. codes: 0 '***' 0.001 '**' 0.01 '*' 0.05 '.' 0.1 ' ' 1

Residual standard error: 0.09249 on 30 degrees of freedom
(1 observation deleted due to missingness)

Multiple R-Squared: 0.9621, Adjusted R-squared: 0.9609

F-statistic: 762.4 on 1 and 30 DF, p-value: < 2.2e-16

Pearson's product-moment correlation

data: x and y

t = 27.6123, df = 30, p-value < 2.2e-16

alternative hypothesis: true correlation is not equal to 0

95 percent confidence interval:

0.9608255 0.9907249

sample estimates:

cor

0.9808884

Log-lineare Regression für Chrysen

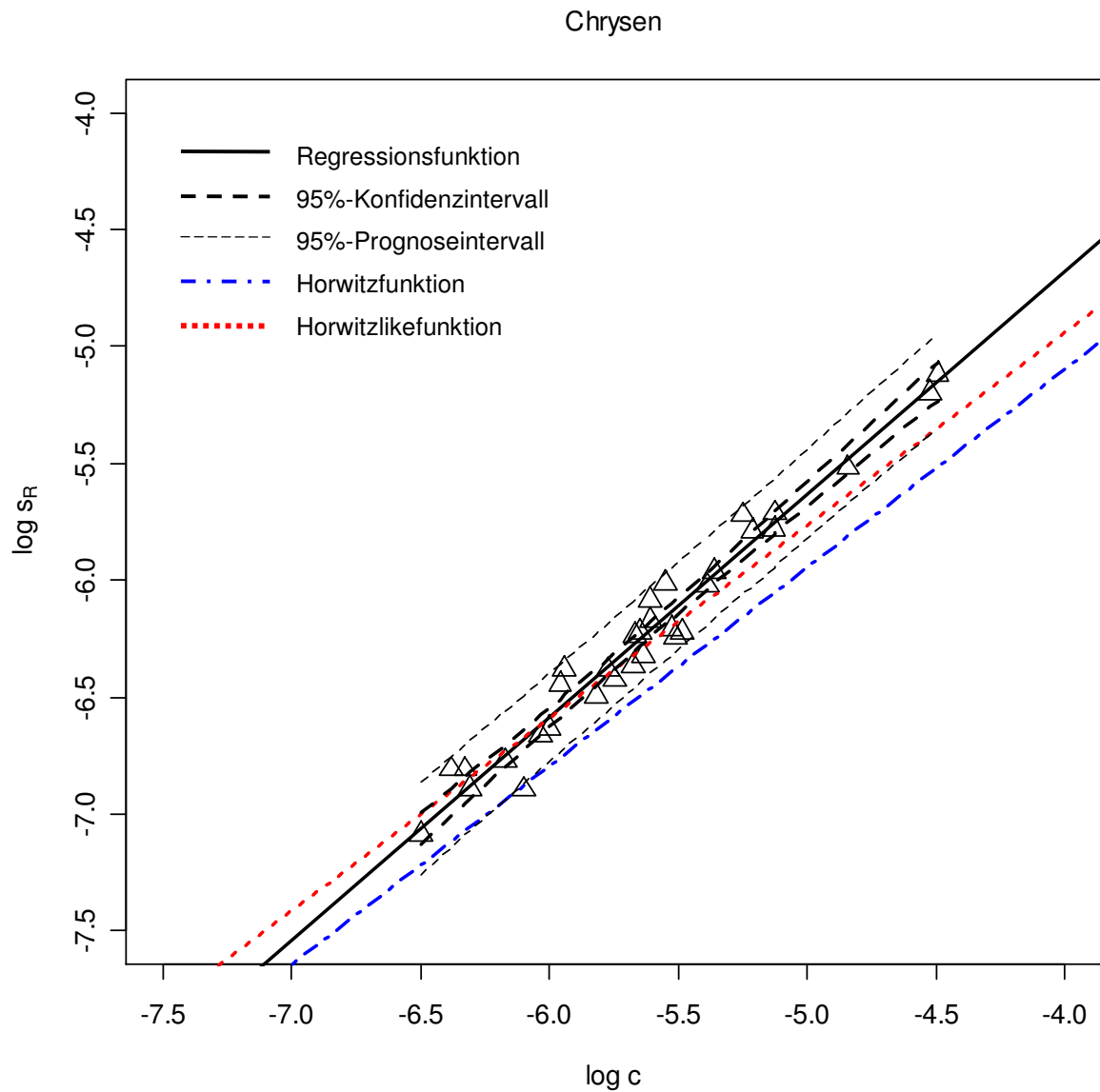


Abbildung A 18: Vergleichsstandardabweichung s_R aus Ringversuchen über die Bodengehalte c der Ringversuchsproben für **Chrysen** (s_R, c in Massefraktion, $1 \text{ mg/kg} = 10^{-6}$).

Anhang

Analysis of Variance Table - Chrysen

Response: y

	Df	Sum Sq	Mean Sq	F value	Pr(>F)
x	1	6.8221	6.8221	837.58	< 2.2e-16 ***
Residuals	30	0.2444	0.0081		

Signif. codes: 0 '***' 0.001 '**' 0.01 '*' 0.05 '.' 0.1 ' ' 1

Call:

lm(formula = y ~ x)

Residuals:

Min	1Q	Median	3Q	Max
-0.21288	-0.05273	-0.01726	0.04124	0.14945

Coefficients:

	Estimate	Std. Error	t value	Pr(> t)
(Intercept)	-0.86422	0.18636	-4.637	6.47e-05 ***
x	0.95371	0.03295	28.941	< 2e-16 ***

Signif. codes: 0 '***' 0.001 '**' 0.01 '*' 0.05 '.' 0.1 ' ' 1

Residual standard error: 0.09025 on 30 degrees of freedom

Multiple R-Squared: 0.9654, Adjusted R-squared: 0.9643

F-statistic: 837.6 on 1 and 30 DF, p-value: < 2.2e-16

Pearson's product-moment correlation

data: x and y

t = 28.9411, df = 30, p-value < 2.2e-16

alternative hypothesis: true correlation is not equal to 0

95 percent confidence interval:

0.9642171 0.9915391

sample estimates:

cor

0.9825585

Log-lineare Regression für Benzo(b)fluoranthen

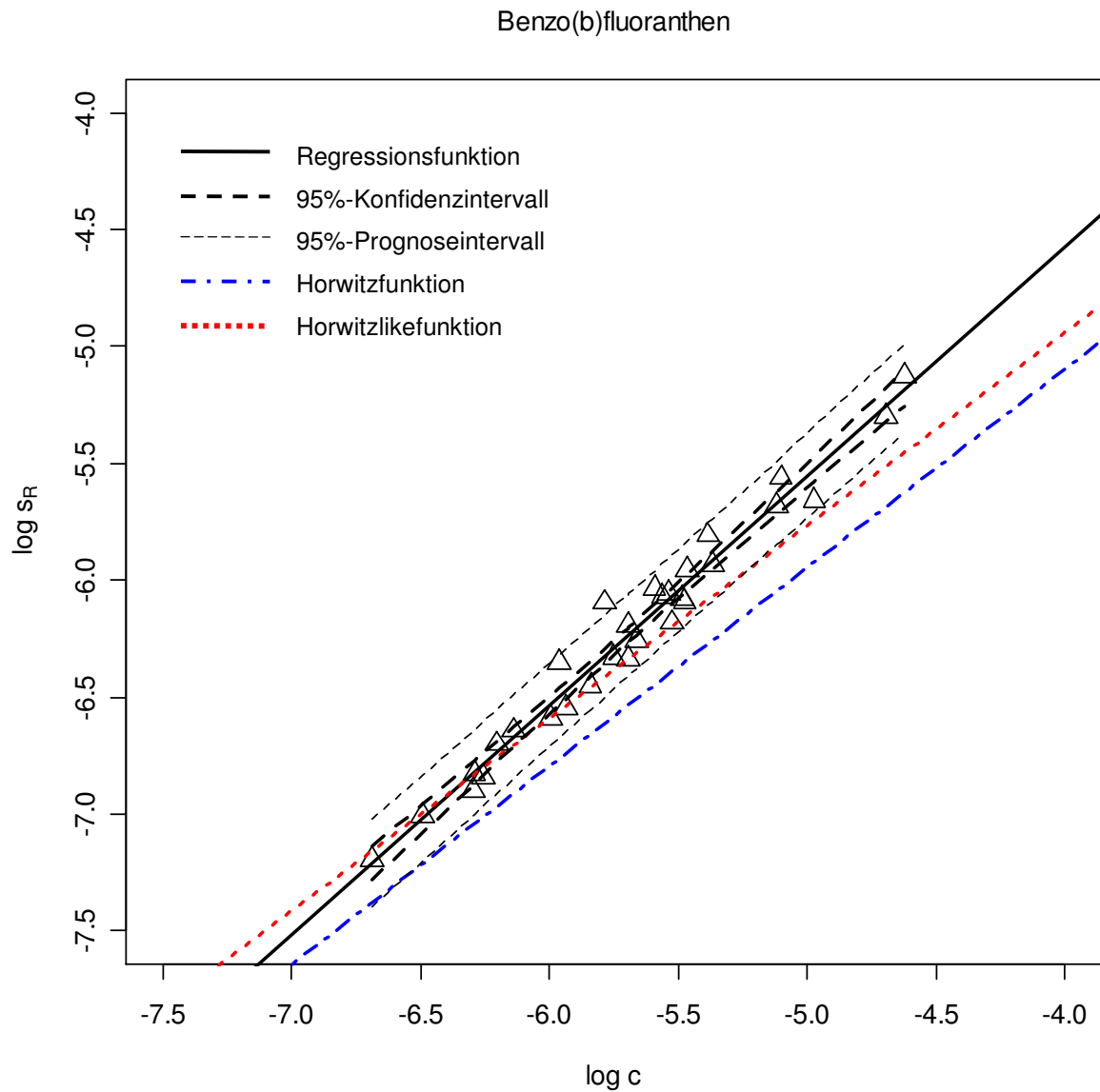


Abbildung A 19: Vergleichsstandardabweichung s_R aus Ringversuchen über die Bodengehalte c der Ringversuchsproben für **Benzo(b)fluoranthen** (s_R , c in Massefraktion, $1 \text{ mg/kg} = 10^{-6}$).

Analysis of Variance Table – Benzo(b)fluoranthen

Response: y

	Df	Sum Sq	Mean Sq	F value	Pr(>F)
x	1	6.8849	6.8849	965	< 2.2e-16 ***
Residuals	28	0.1998	0.0071		

Signif. codes: 0 '***' 0.001 '**' 0.01 '*' 0.05 '.' 0.1 ' ' 1

Call:

lm(formula = y ~ x)

Residuals:

Min	1Q	Median	3Q	Max
-0.131108	-0.057473	-0.009729	0.037154	0.230434

Coefficients:

	Estimate	Std. Error	t value	Pr(> t)
(Intercept)	-0.6442	0.1804	-3.571	0.00131 **
x	0.9818	0.0316	31.064	< 2e-16 ***

Signif. codes: 0 '***' 0.001 '**' 0.01 '*' 0.05 '.' 0.1 ' ' 1

Residual standard error: 0.08447 on 28 degrees of freedom
 Multiple R-Squared: 0.9718, Adjusted R-squared: 0.9708
 F-statistic: 965 on 1 and 28 DF, p-value: < 2.2e-16

Pearson's product-moment correlation

data: x and y

t = 31.0645, df = 28, p-value < 2.2e-16

alternative hypothesis: true correlation is not equal to 0

95 percent confidence interval:

0.9700469 0.9932968

sample estimates:

cor
 0.9858005

Log-lineare Regression für Benzo(k)fluoranthen

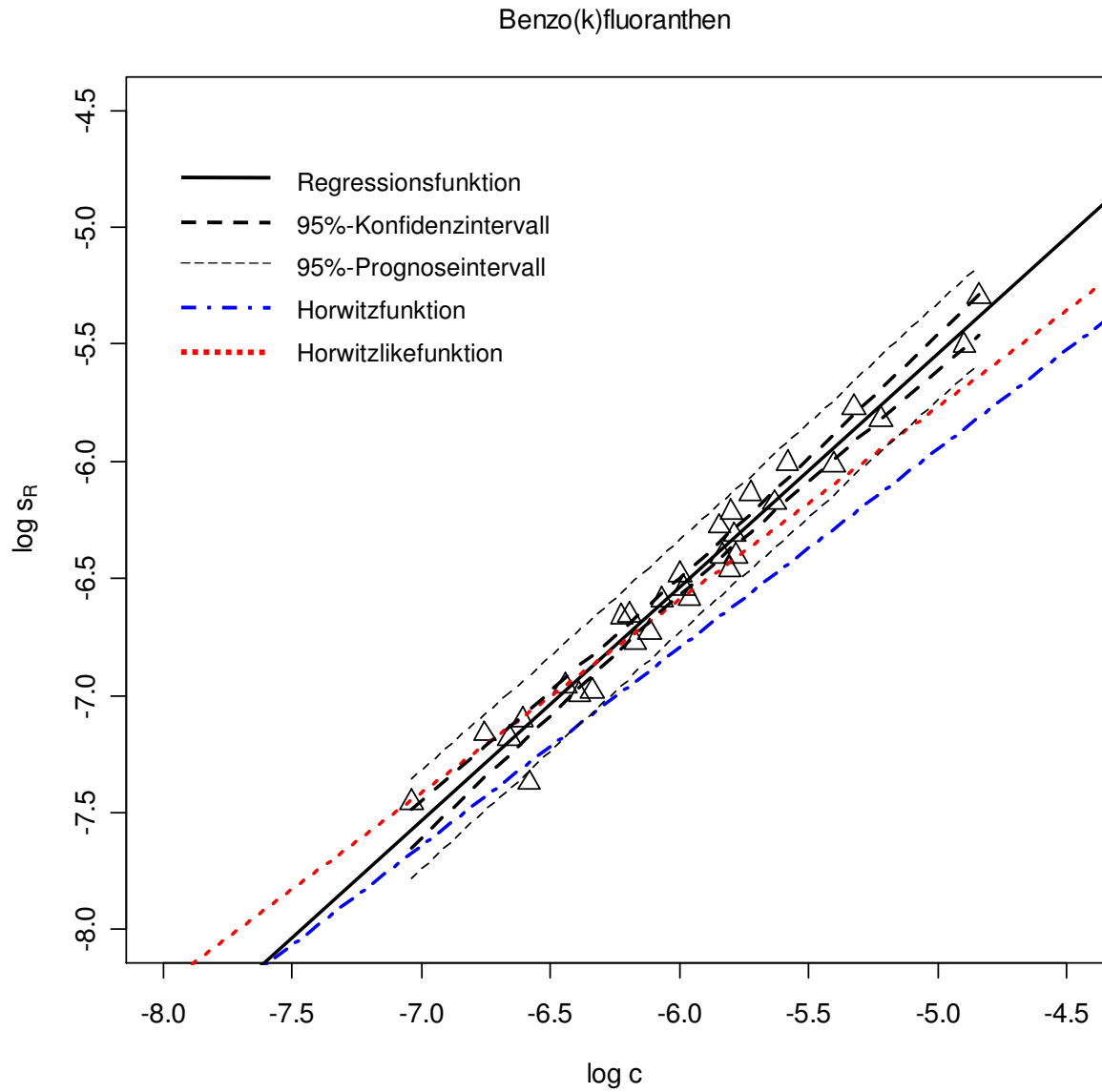


Abbildung A 20: Vergleichsstandardabweichung s_R aus Ringversuchen über die Bodengehalte c der Ringversuchsproben **Benzo(k)fluoranthen** (s_R , c in Massefraktion, $1 \text{ mg/kg} = 10^{-6}$).

Anhang

Analysis of Variance Table – Benzo(k)fluoranthen

Response: y

	Df	Sum Sq	Mean Sq	F value	Pr(>F)
x	1	7.9266	7.9266	876.17	< 2.2e-16 ***
Residuals	28	0.2533	0.0090		

Signif. codes: 0 '***' 0.001 '**' 0.01 '*' 0.05 '.' 0.1 ' ' 1

Call:

lm(formula = y ~ x)

Residuals:

Min	1Q	Median	3Q	Max
-0.257976	-0.071593	0.007124	0.086588	0.126241

Coefficients:

	Estimate	Std. Error	t value	Pr(> t)
(Intercept)	-0.53763	0.20224	-2.658	0.0128 *
x	0.99948	0.03377	29.600	<2e-16 ***

Signif. codes: 0 '***' 0.001 '**' 0.01 '*' 0.05 '.' 0.1 ' ' 1

Residual standard error: 0.09511 on 28 degrees of freedom

Multiple R-Squared: 0.969, Adjusted R-squared: 0.9679

F-statistic: 876.2 on 1 and 28 DF, p-value: < 2.2e-16

Pearson's product-moment correlation

data: x and y

t = 29.6002, df = 28, p-value < 2.2e-16

alternative hypothesis: true correlation is not equal to 0

95 percent confidence interval:

0.9671068 0.9926303

sample estimates:

cor
0.9843945

Log-lineare Regression für Benzo(a)pyren

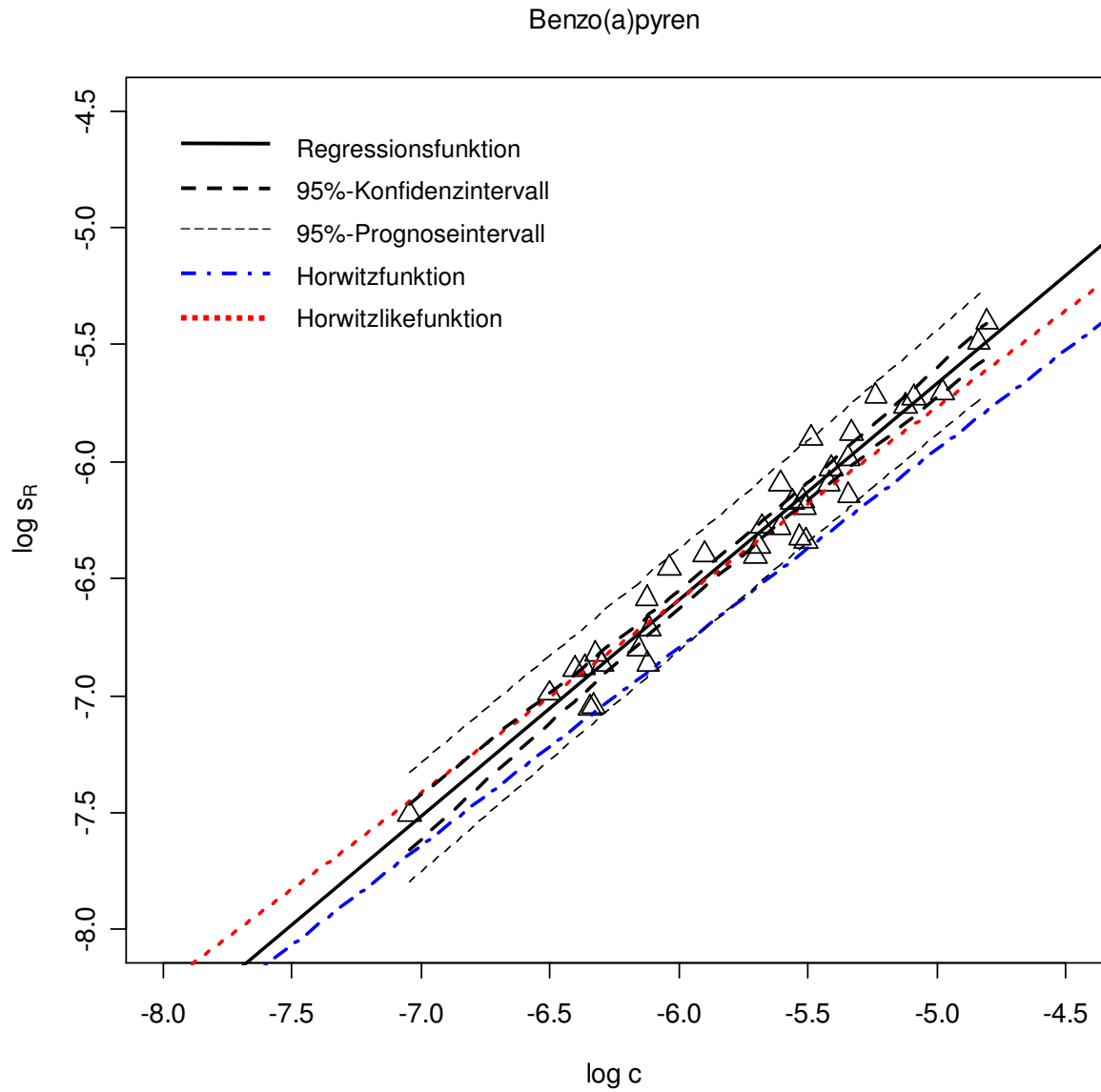


Abbildung A 21: Vergleichsstandardabweichung s_R aus Ringversuchen über die Bodengehalte c der Ringversuchsproben für **Benzo(a)pyren** (s_R , c in Massefraktion, $1 \text{ mg/kg} = 10^{-6}$).

Analysis of Variance Table – Benzo(a)pyren

Response: y

	Df	Sum Sq	Mean Sq	F value	Pr(>F)
x	1	8.2018	8.2018	744.32	< 2.2e-16 ***
Residuals	34	0.3747	0.0110		

Signif. codes: 0 '***' 0.001 '**' 0.01 '*' 0.05 '.' 0.1 ' ' 1

Call:

lm(formula = y ~ x)

Residuals:

Min	1Q	Median	3Q	Max
-0.20482	-0.05968	0.01002	0.06812	0.21397

Coefficients:

	Estimate	Std. Error	t value	Pr(> t)
(Intercept)	-1.02896	0.19556	-5.262	7.86e-06 ***
x	0.92686	0.03397	27.282	< 2e-16 ***

Signif. codes: 0 '***' 0.001 '**' 0.01 '*' 0.05 '.' 0.1 ' ' 1

Residual standard error: 0.105 on 34 degrees of freedom
 Multiple R-Squared: 0.9563, Adjusted R-squared: 0.955
 F-statistic: 744.3 on 1 and 34 DF, p-value: < 2.2e-16

Pearson's product-moment correlation

data: x and y

t = 27.2823, df = 34, p-value < 2.2e-16

alternative hypothesis: true correlation is not equal to 0

95 percent confidence interval:

0.9567691 0.9887762

sample estimates:

cor
0.9779143

Log-lineare Regression für Indeno(1,2,3-cd)pyren

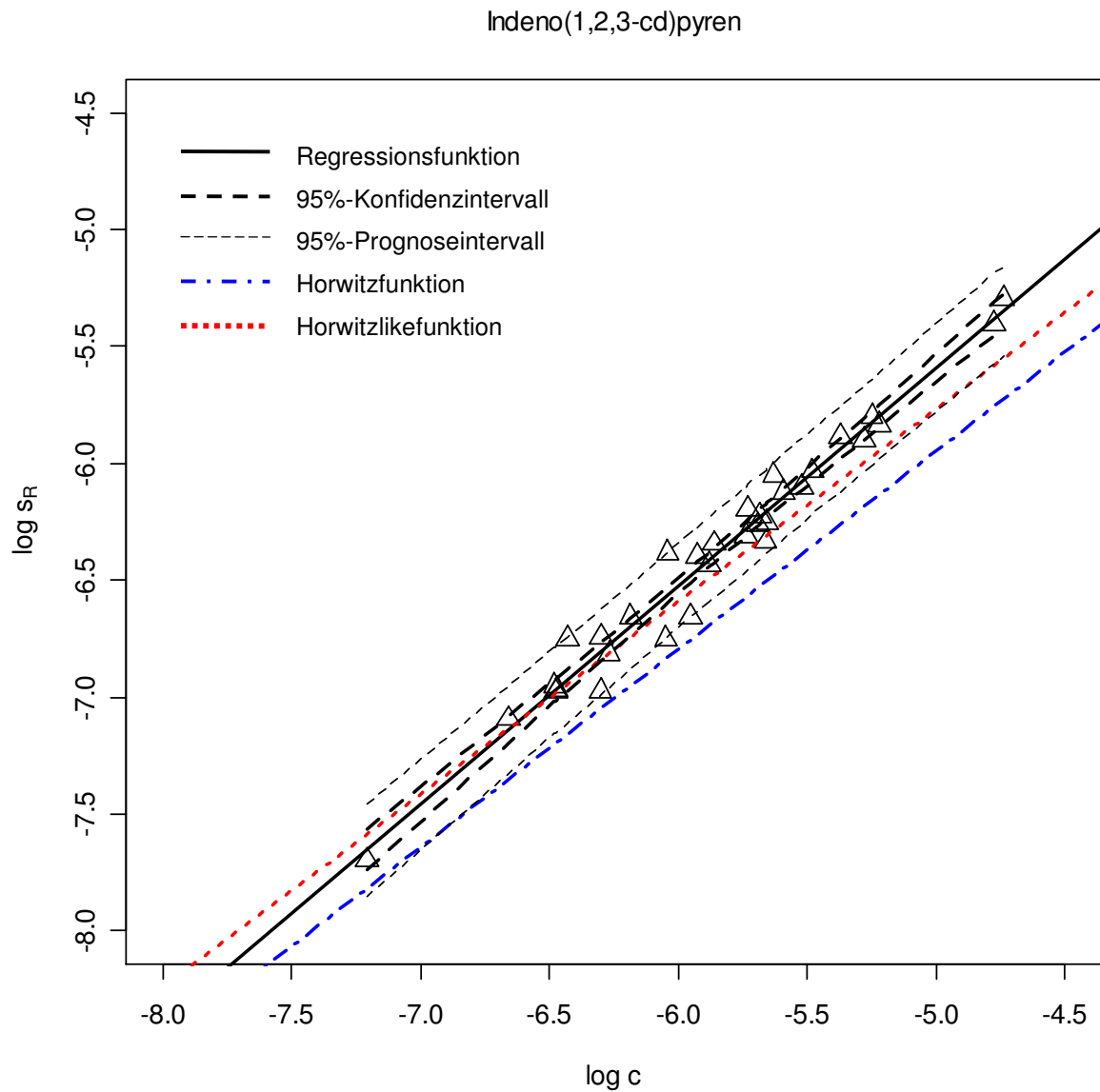


Abbildung A 22: Vergleichsstandardabweichung s_R aus Ringversuchen über die Bodengehalte c der Ringversuchsproben für **Indeno(1,2,3-cd)pyren** (s_R , c in Massefraktion $1 \text{ mg/kg}=10^{-6}$).

Anhang

Analysis of Variance Table – Indeno(1,2,3-cd)pyren

Response: y

	Df	Sum Sq	Mean Sq	F value	Pr(>F)
x	1	7.8614	7.8614	1037.4	< 2.2e-16 ***
Residuals	30	0.2273	0.0076		

Signif. codes: 0 '***' 0.001 '**' 0.01 '*' 0.05 '.' 0.1 ' ' 1

Call:

lm(formula = y ~ x)

Residuals:

Min	1Q	Median	3Q	Max
-0.181244	-0.037649	0.001989	0.050925	0.180317

Coefficients:

	Estimate	Std. Error	t value	Pr(> t)
(Intercept)	-0.9214	0.1706	-5.401	7.5e-06 ***
x	0.9339	0.0290	32.209	< 2e-16 ***

Signif. codes: 0 '***' 0.001 '**' 0.01 '*' 0.05 '.' 0.1 ' ' 1

Residual standard error: 0.08705 on 30 degrees of freedom

Multiple R-Squared: 0.9719, Adjusted R-squared: 0.971

F-statistic: 1037 on 1 and 30 DF, p-value: < 2.2e-16

Pearson's product-moment correlation

data: x and y

t = 32.2091, df = 30, p-value < 2.2e-16

alternative hypothesis: true correlation is not equal to 0

95 percent confidence interval:

0.9709138 0.9931404

sample estimates:

cor

0.9858474

Log-lineare Regression für Dibenzo(a,h)anthracen

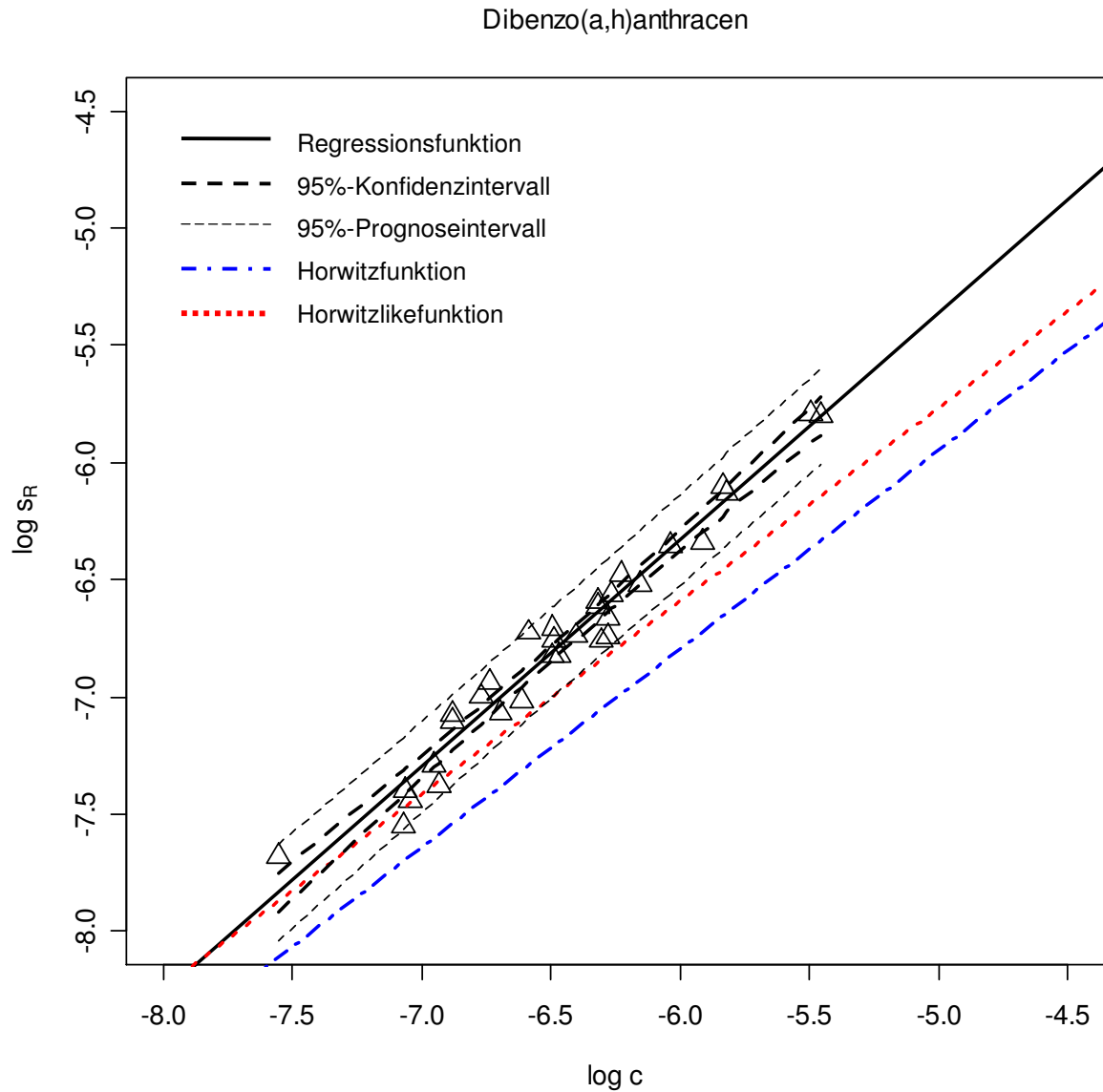


Abbildung A 23: Vergleichsstandardabweichung s_R aus Ringversuchen über die Bodengehalte c der Ringversuchsproben für **Dibenzo(a,h)anthracen** (s_R, c in Massefraktion, $1 \text{ mg/kg} = 10^{-6}$).

Anhang

Analysis of Variance Table – Dibenzo(a,h)anthracen

Response: y

	Df	Sum Sq	Mean Sq	F value	Pr(>F)
x	1	6.4786	6.4786	766.33	< 2.2e-16 ***
Residuals	30	0.2536	0.0085		

Signif. codes: 0 '***' 0.001 '**' 0.01 '*' 0.05 '.' 0.1 ' ' 1

Call:

lm(formula = y ~ x)

Residuals:

Min	1Q	Median	3Q	Max
-0.180547	-0.059658	0.006503	0.074068	0.172355

Coefficients:

	Estimate	Std. Error	t value	Pr(> t)
(Intercept)	-0.5189	0.2268	-2.288	0.0293 *
x	0.9688	0.0350	27.683	<2e-16 ***

Signif. codes: 0 '***' 0.001 '**' 0.01 '*' 0.05 '.' 0.1 ' ' 1

Residual standard error: 0.09195 on 30 degrees of freedom

Multiple R-Squared: 0.9623, Adjusted R-squared: 0.9611

F-statistic: 766.3 on 1 and 30 DF, p-value: < 2.2e-16

Pearson's product-moment correlation

data: x and y

t = 27.6827, df = 30, p-value < 2.2e-16

alternative hypothesis: true correlation is not equal to 0

95 percent confidence interval:

0.961017 0.990771

sample estimates:

cor

0.9809828

Log-lineare Regression für Benzo(g,h,i)perylen

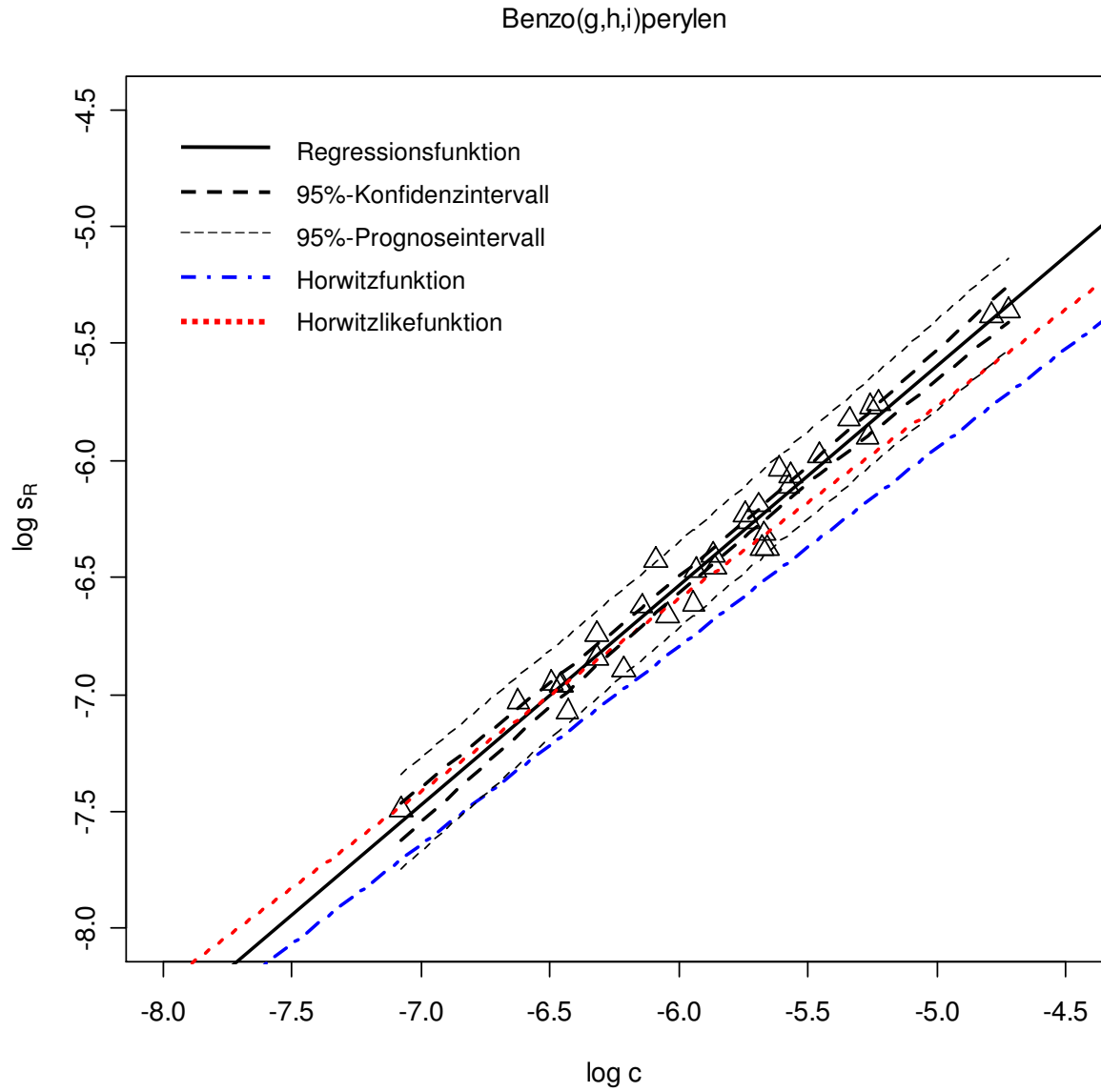


Abbildung A 24: Vergleichsstandardabweichung s_R aus Ringversuchen über die Bodengehalte c der Ringversuchsproben für **Benzo(g,h,i)perylen** (s_R, c in Massefraktion, $1 \text{ mg/kg} = 10^{-6}$).

Anhang

Analysis of Variance Table – Benzo(g,h,i)perlylen

Response: y

	Df	Sum Sq	Mean Sq	F value	Pr(>F)
x	1	7.6077	7.6077	960.77	< 2.2e-16 ***
Residuals	30	0.2376	0.0079		

Signif. codes: 0 '***' 0.001 '**' 0.01 '*' 0.05 '.' 0.1 ' ' 1

Call:

lm(formula = y ~ x)

Residuals:

Min	1Q	Median	3Q	Max
-0.16882	-0.05566	0.01426	0.05411	0.18944

Coefficients:

	Estimate	Std. Error	t value	Pr(> t)
(Intercept)	-0.88965	0.17824	-4.991	2.39e-05 ***
x	0.94039	0.03034	30.996	< 2e-16 ***

Signif. codes: 0 '***' 0.001 '**' 0.01 '*' 0.05 '.' 0.1 ' ' 1

Residual standard error: 0.08899 on 30 degrees of freedom

Multiple R-Squared: 0.9697, Adjusted R-squared: 0.9687

F-statistic: 960.8 on 1 and 30 DF, p-value: < 2.2e-16

Pearson's product-moment correlation

data: x and y

t = 30.9963, df = 30, p-value < 2.2e-16

alternative hypothesis: true correlation is not equal to 0

95 percent confidence interval:

0.9686642 0.9926034

sample estimates:

cor

0.9847439

Log-lineare Regression für die Summe der 16 PAK

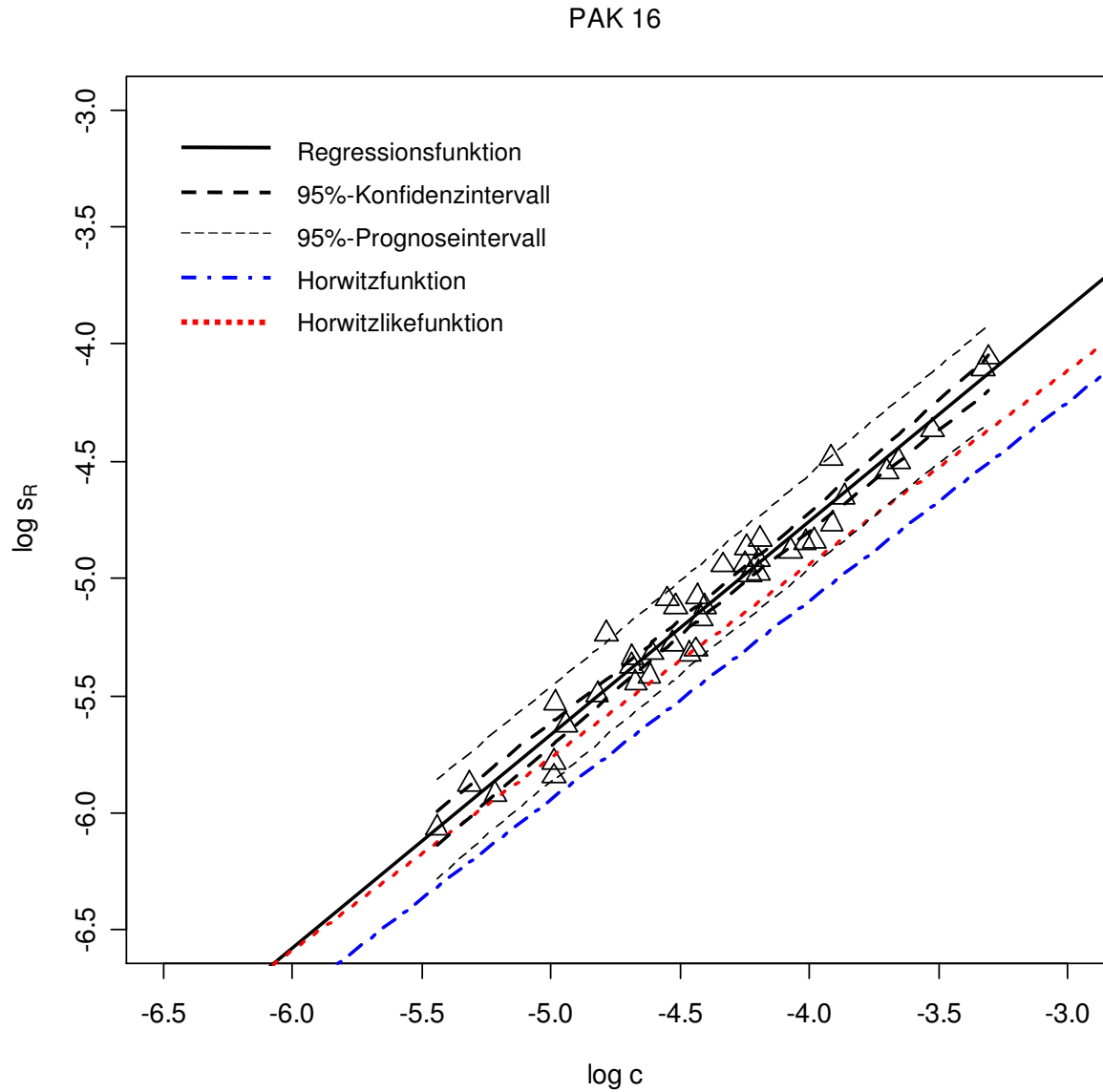


Abbildung A 25: Vergleichsstandardabweichung s_R aus Ringversuchen über die Bodengehalte c der Ringversuchsproben für die **Summe der 16 polycyclischen aromatischen Kohlenwasserstoffe (PAK) nach EPA** (s_R , c in Massefraktion, $1 \text{ mg/kg} = 10^{-6}$).

Anhang

Analysis of Variance Table - Summe der 16 polycyclischen aromatischen Kohlenwasserstoffe (PAK) nach EPA

Response: y

	Df	Sum Sq	Mean Sq	F value	Pr(>F)
x	1	8.4173	8.4173	884.9	< 2.2e-16 ***
Residuals	38	0.3615	0.0095		

Signif. codes: 0 '***' 0.001 '**' 0.01 '*' 0.05 '.' 0.1 ' ' 1

Call:

lm(formula = y ~ x)

Residuals:

Min	1Q	Median	3Q	Max
-0.18967	-0.06222	-0.01046	0.06783	0.23714

Coefficients:

	Estimate	Std. Error	t value	Pr(> t)
(Intercept)	-1.11554	0.13507	-8.259	5.23e-10 ***
x	0.91006	0.03059	29.747	< 2e-16 ***

Signif. codes: 0 '***' 0.001 '**' 0.01 '*' 0.05 '.' 0.1 ' ' 1

Residual standard error: 0.09753 on 38 degrees of freedom

Multiple R-Squared: 0.9588, Adjusted R-squared: 0.9577

F-statistic: 884.9 on 1 and 38 DF, p-value: < 2.2e-16

Pearson's product-moment correlation - Summe 16 PAK

data: x and y

t = 29.7473, df = 38, p-value < 2.2e-16

alternative hypothesis: true correlation is not equal to 0

95 percent confidence interval:

0.9607407 0.9890247

sample estimates:

cor

0.9791964

ANHANG B: UNSICHERHEIT DER WASSERGEHALTSBESTIMMUNG

Tabelle A 1: Wassergehalte der Referenzböden

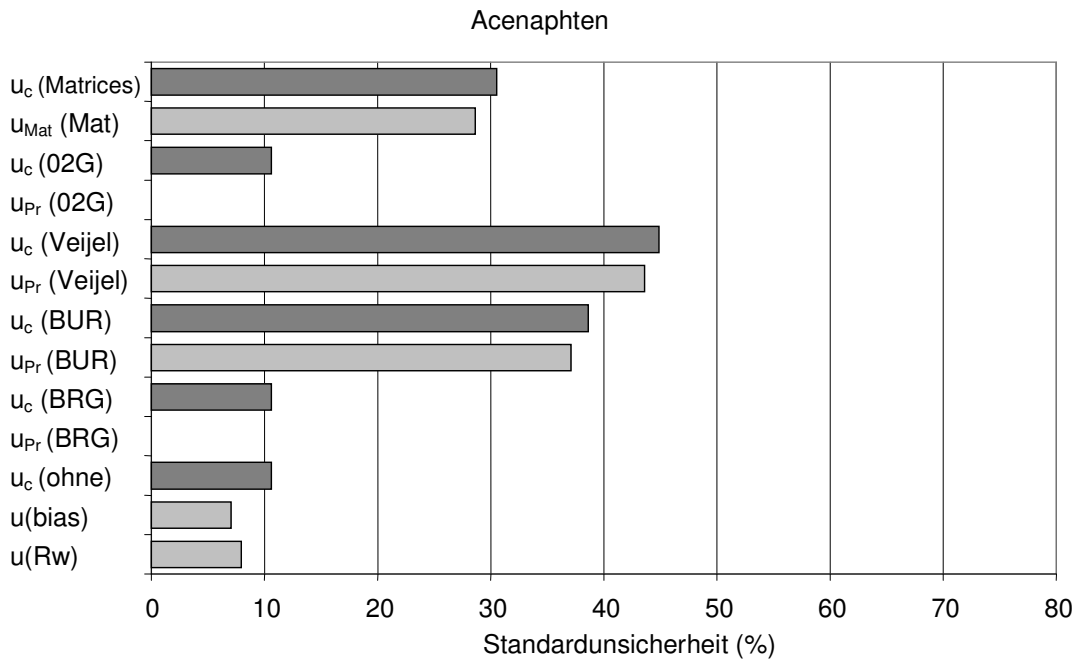
Boden	Wassergehalt (%)	Mittelwert (%)	s (%)	relative s (%) = u
IME-01A	0,61	0,60	0,01	1,96
	0,59			
	0,60			
IME-02A	1,60	1,64	0,05	3,26
	1,62			
	1,70			
IME-03G	2,61	2,62	0,01	0,40
	2,61			
	2,63			
IME-04A	1,43	1,42	0,02	1,21
	1,40			
	1,43			
IME-05G	3,03	2,98	0,04	1,49
	2,94			
	2,96			
IME-06A	10,56	10,67	0,10	0,94
	10,76			
	10,70			
Mittelwert		3,32	0,04	1,54

Anhang

Tabelle A 2: Bodenarten der Referenzböden

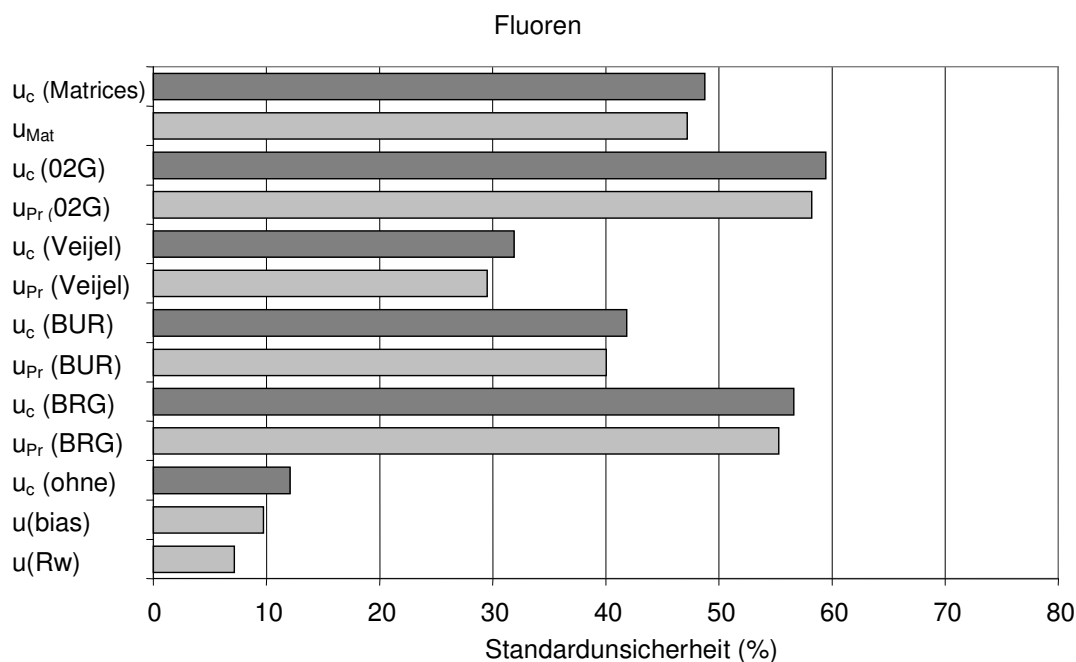
Boden	Sand [%]	Schluff [%]	Ton [%]	Bodenart
IME-01-A-1	71,54	23,45	5,01	SI2
IME-01-A-2	71,31	23,63	5,06	SI2
IME-01-A-3	70,34	24,23	5,43	SI2
IME-02-A-1	1,56	83,24	15,19	Ut3
IME-02-A-2	1,59	83,57	14,84	Ut3
IME-02-A-3	0,48	83,25	16,27	Ut3
IME-03-G-1	19,50	51,99	28,51	Lu
IME-03-G-2	17,95	52,76	29,29	Lu
IME-03-G-3	15,09	55,19	29,72	Lu
IME-04-A-1	85,71	10,29	4,00	Su2
IME-04-A-2	84,66	10,73	4,61	Su2
IME-04-A-3	85,62	9,66	4,72	Ss
IME-05-G-1	21,12	68,13	10,76	Ut2
IME-05-G-2	20,95	64,54	14,51	Uls
IME-05-G-3	21,31	62,89	15,80	Uls
IME-06-A-1	13,38	53,79	32,83	Tu3
IME-06-A-2	12,02	52,68	35,30	Tu3
IME-06-A-3	12,86	51,65	35,48	Tu3

ANHANG C: ABBILDUNGEN ZUM KAPITEL 4.3

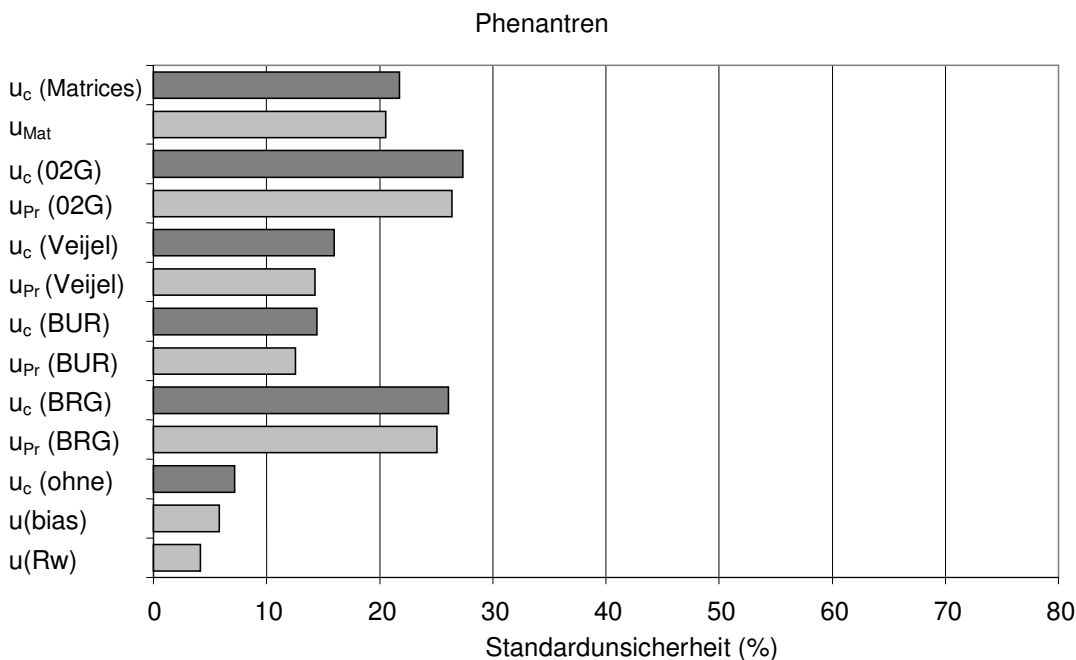


BRG: Grünland, BUR: Rieselfeld, Berlin, Veijel: Boden, Dänemark; 02-G: Referenzboden
 Abbildung A 26: Kombinierte Messunsicherheit u_c des Gehaltes von Acenaphten in Böden aus den Standardunsicherheiten der laborinternen Präzision $u(s_{Rw})$, der systematischen Messabweichung $u(bias)$, ohne sowie mit Standardunsicherheit der Bodenproben u_{Pr} als auch als gepoolte Standardunsicherheit der vier Bodenmatrices u_{Mat} .

Anhang



BRG: Grünland, BUR: Rieselfeld, Berlin, Veijel: Boden, Dänemark; 02-G: Referenzboden
 Abbildung A 27: Kombinierte Messunsicherheit u_c des Gehaltes von Fluoren in Böden aus den Standardunsicherheiten der laborinternen Präzision $u(s_{Rw})$, der systematischen Messabweichung $u(bias)$, ohne sowie mit Standardunsicherheit der Bodenproben u_{Pr} als auch als gepoolte Standardunsicherheit der vier Bodenmatrices u_{Mat} .



BRG: Grünland, BUR: Rieselfeld, Berlin, Veijel: Boden, Dänemark; 02-G: Referenzboden
 Abbildung A 28: Kombinierte Messunsicherheit u_c des Gehaltes von Phenantren in Böden aus den Standardunsicherheiten der laborinternen Präzision $u(s_{Rw})$, der systematischen Messabweichung $u(bias)$, ohne sowie mit Standardunsicherheit der Bodenproben u_{Pr} als auch als gepoolte Standardunsicherheit der vier Bodenmatrices u_{Mat} .

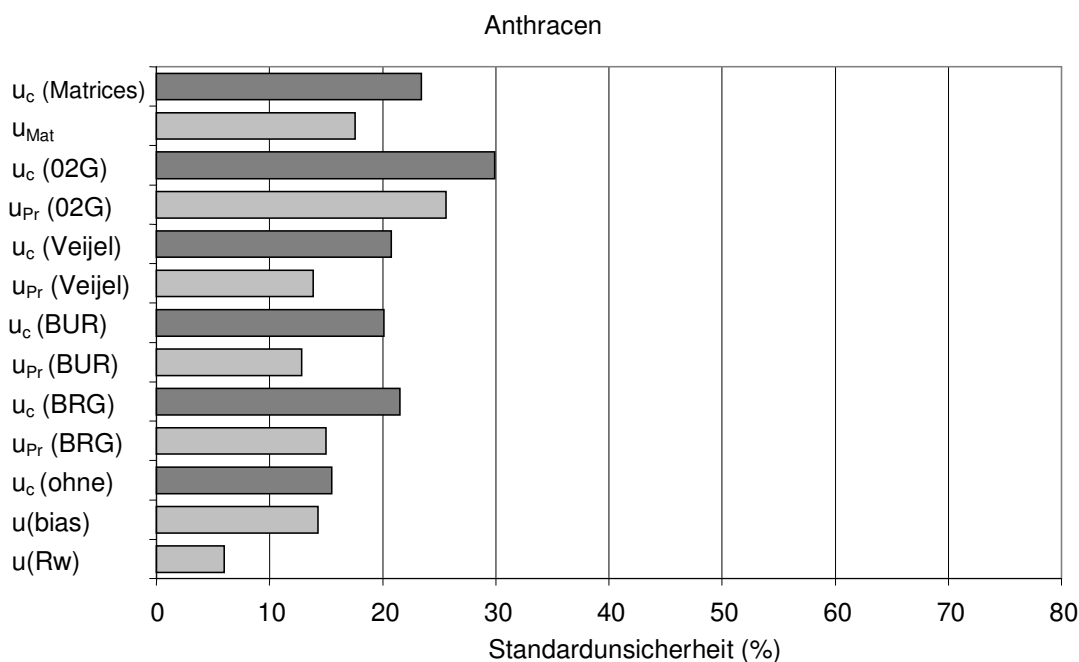


Abbildung A 29: BRG: Grünland, BUR: Rieselfeld, Berlin, Veijel: Boden, Dänemark; 02-G: Referenzboden
 Kombinierte Messunsicherheit u_c des Gehaltes von Anthracen in Böden aus den Standardunsicherheiten der laborinternen Präzision $u(s_{Rw})$, der systematischen Messabweichung $u(bias)$, ohne sowie mit Standardunsicherheit der Bodenproben u_{Pr} als auch als gepoolte Standardunsicherheit der vier Bodenmatrices u_{Mat} .

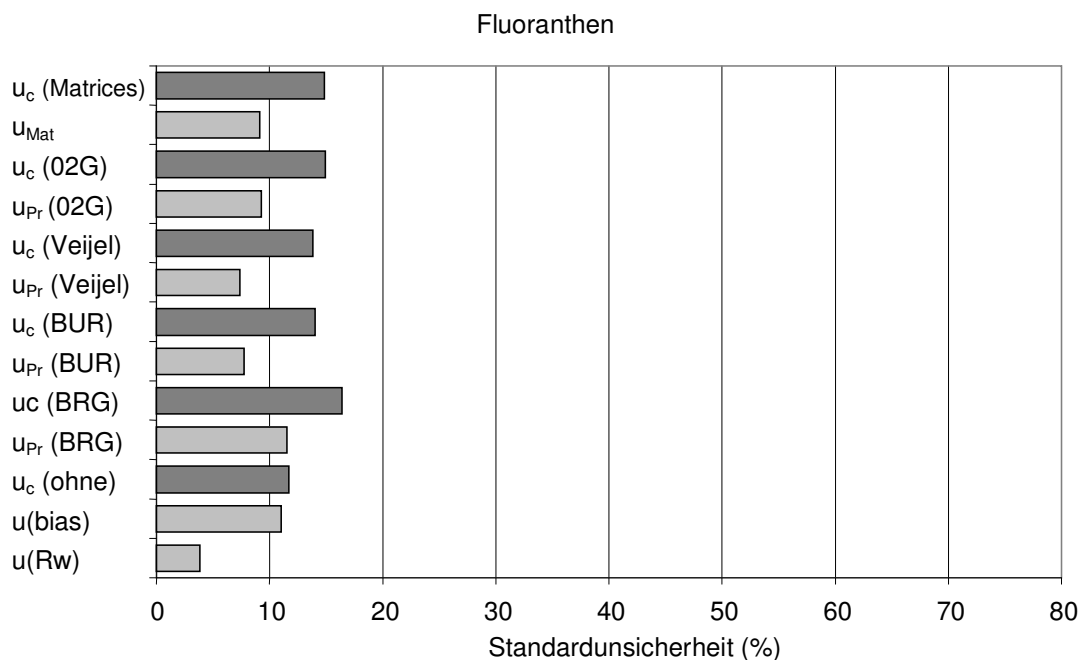


Abbildung A 30: BRG: Grünland, BUR: Rieselfeld, Berlin, Veijel: Boden, Dänemark; 02-G: Referenzboden
 Kombinierte Messunsicherheit u_c des Gehaltes von Fluoranthren in Böden aus den Standardunsicherheiten der laborinternen Präzision $u(s_{Rw})$, der systematischen Messabweichung $u(bias)$, ohne sowie mit Standardunsicherheit der Bodenproben u_{Pr} als auch als gepoolte Standardunsicherheit der vier Bodenmatrices u_{Mat} .

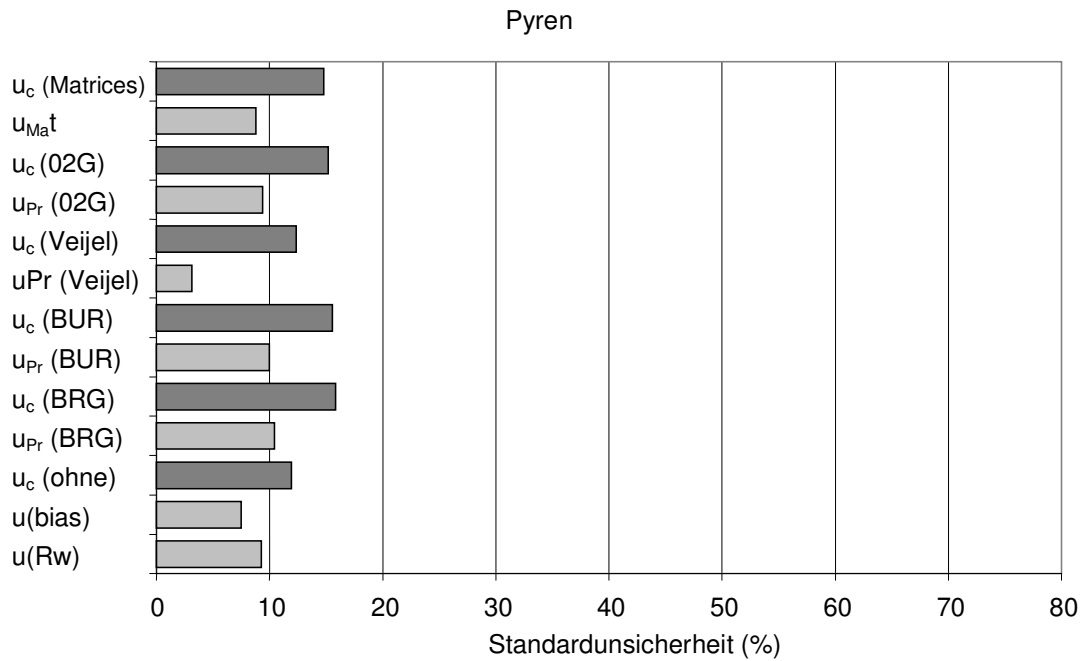


Abbildung A 31: BRG: Grünland, BUR: Rieselfeld, Berlin, Veijel: Boden, Dänemark; 02-G: Referenzboden
 Kombinierte Messunsicherheit u_c des Gehaltes von Pyren in Böden aus den Standardunsicherheiten der laborinternen Präzision $u(S_{Rw})$, der systematischen Messabweichung $u(bias)$, ohne sowie mit Standardunsicherheit der Bodenproben u_{Pr} als auch als gepoolte Standardunsicherheit der vier Bodenmatrices u_{Mat} .

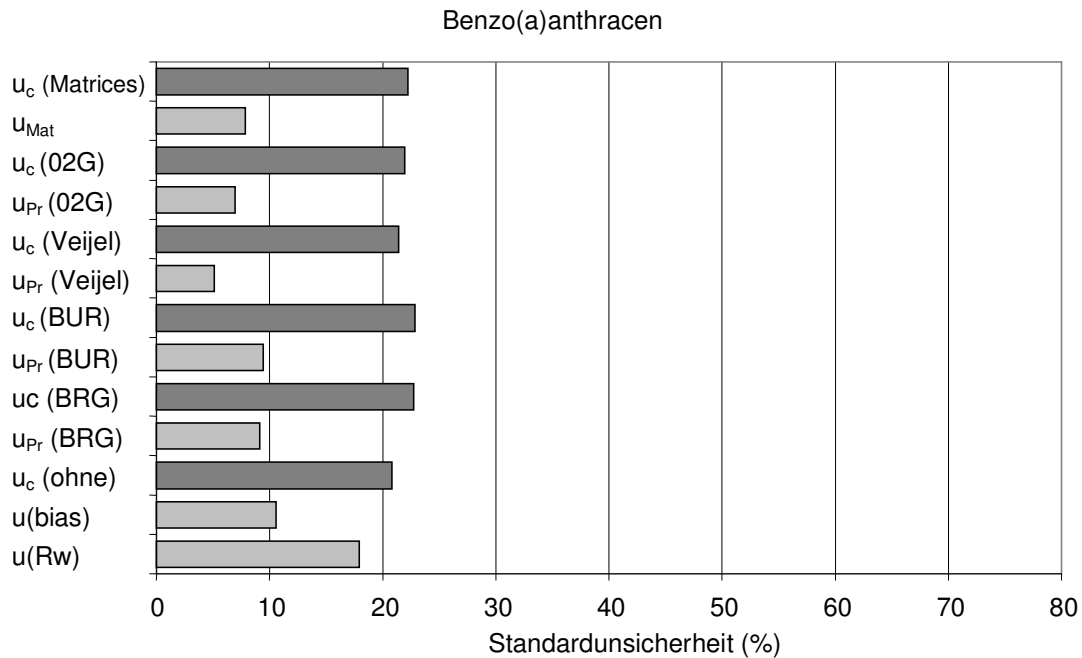


Abbildung A 32: BRG: Grünland, BUR: Rieselfeld, Berlin, Veijel: Boden, Dänemark; 02-G: Referenzboden
 Kombinierte Messunsicherheit u_c des Gehaltes von Benzo(a)anthracen in Böden aus den Standardunsicherheiten der laborinternen Präzision $u(S_{Rw})$, der systematischen Messabweichung $u(bias)$, ohne sowie mit Standardunsicherheit der Bodenproben u_{Pr} als auch als gepoolte Standardunsicherheit der vier Bodenmatrices u_{Mat} .

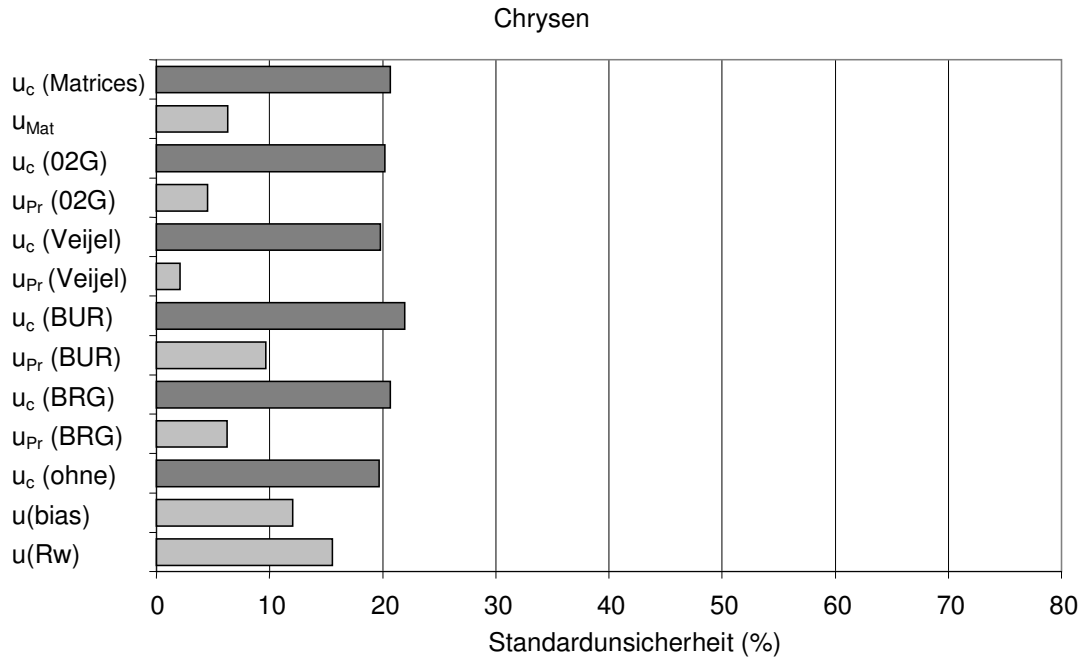


Abbildung A 33: BRG: Grünland, BUR: Rieselfeld, Berlin, Veijel: Boden, Dänemark; 02-G: Referenzboden
 Kombinierte Messunsicherheit u_c des Gehaltes von Chrysen in Böden aus den Standardunsicherheiten der laborinternen Präzision $u(s_{Rw})$, der systematischen Messabweichung $u(bias)$, ohne sowie mit Standardunsicherheit der Bodenproben u_{Pr} als auch als gepoolte Standardunsicherheit der vier Bodenmatrices u_{Mat} .

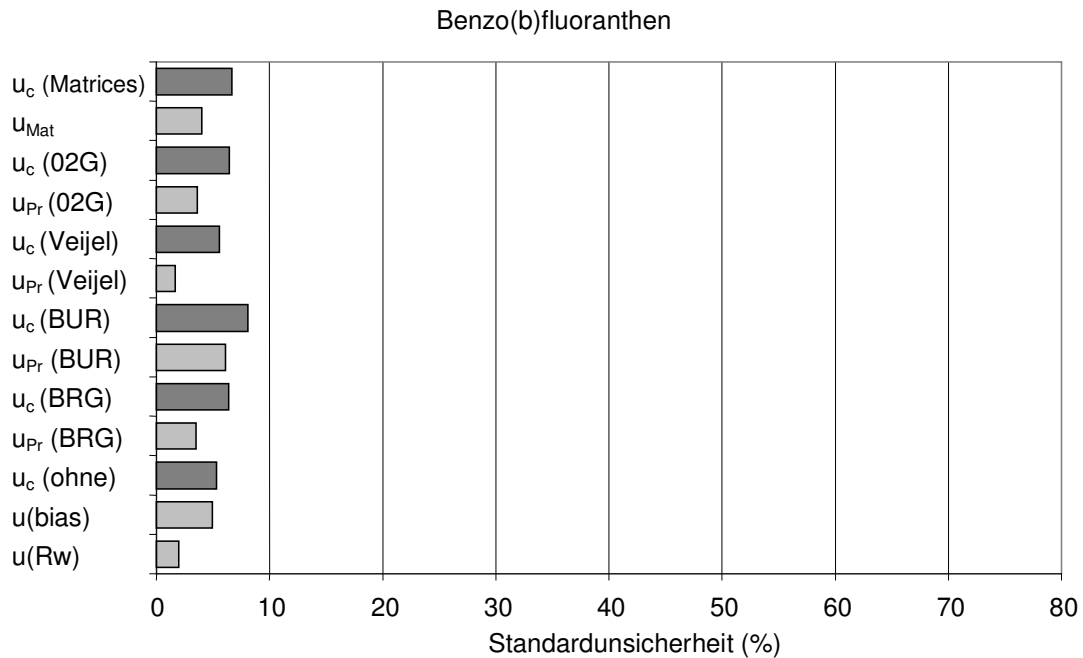


Abbildung A 34: BRG: Grünland, BUR: Rieselfeld, Berlin, Veijel: Boden, Dänemark; 02-G: Referenzboden
 Kombinierte Messunsicherheit u_c des Gehaltes von Benzo(b)fluoranthen in Böden aus den Standardunsicherheiten der laborinternen Präzision $u(s_{Rw})$, der systematischen Messabweichung $u(bias)$, ohne sowie mit Standardunsicherheit der Bodenproben u_{Pr} als auch als gepoolte Standardunsicherheit der vier Bodenmatrices u_{Mat} .

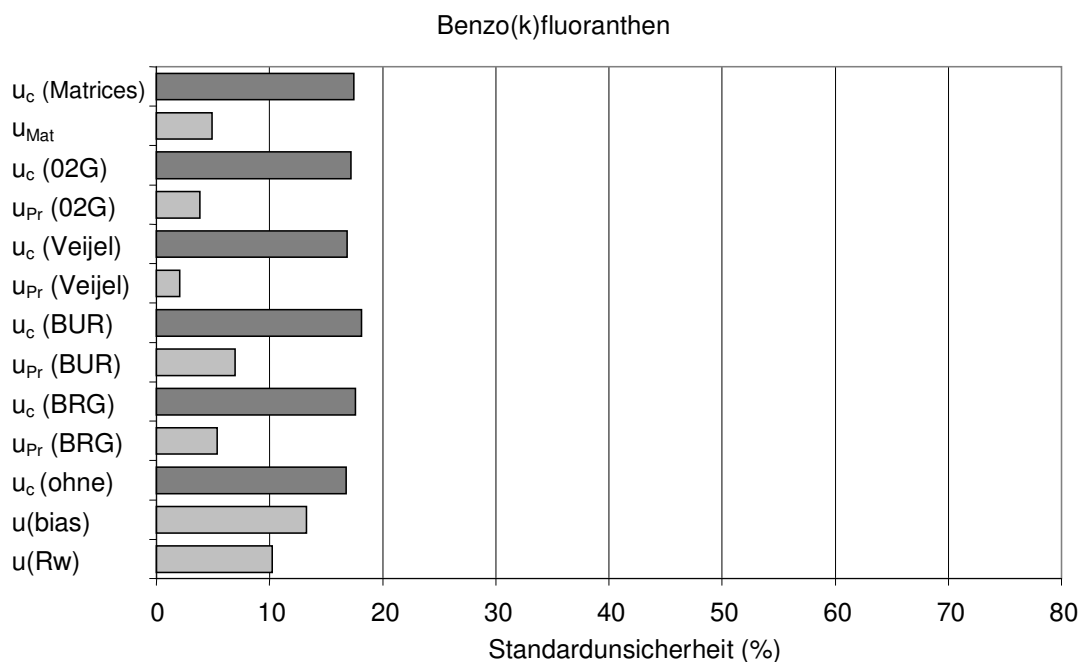


Abbildung A 35: BRG: Grünland, BUR: Rieselfeld, Berlin, Veijel: Boden, Dänemark; 02-G: Referenzboden
 Kombinierte Messunsicherheit u_c des Gehaltes von Benzo(b)fluoranthen in Böden aus den Standardunsicherheiten der laborinternen Präzision $u(s_{Rw})$, der systematischen Messabweichung $u(bias)$, ohne sowie mit Standardunsicherheit der Bodenproben u_{Pr} als auch als gepoolte Standardunsicherheit der vier Bodenmatrices u_{Mat} .

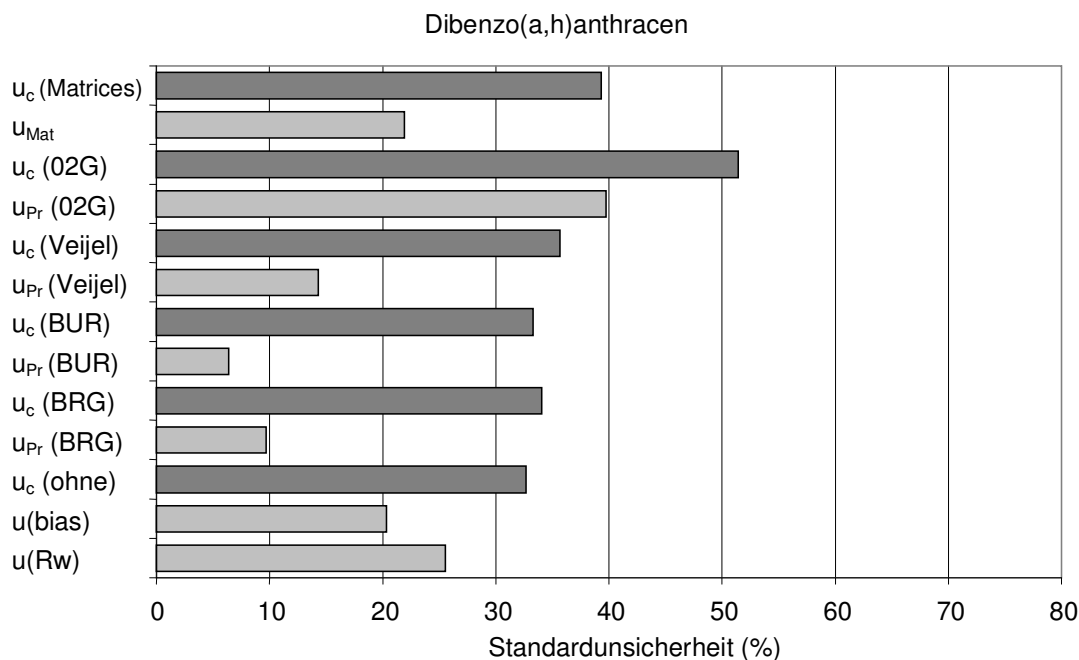


Abbildung A 36: BRG: Grünland, BUR: Rieselfeld, Berlin, Veijel: Boden, Dänemark; 02-G: Referenzboden
 Kombinierte Messunsicherheit u_c des Gehaltes von Dibenzo(a,h)anthracen in Böden aus den Standardunsicherheiten der laborinternen Präzision $u(s_{Rw})$, der systematischen Messabweichung $u(bias)$, ohne sowie mit Standardunsicherheit der Bodenproben u_{Pr} als auch als gepoolte Standardunsicherheit der vier Bodenmatrices u_{Mat} .

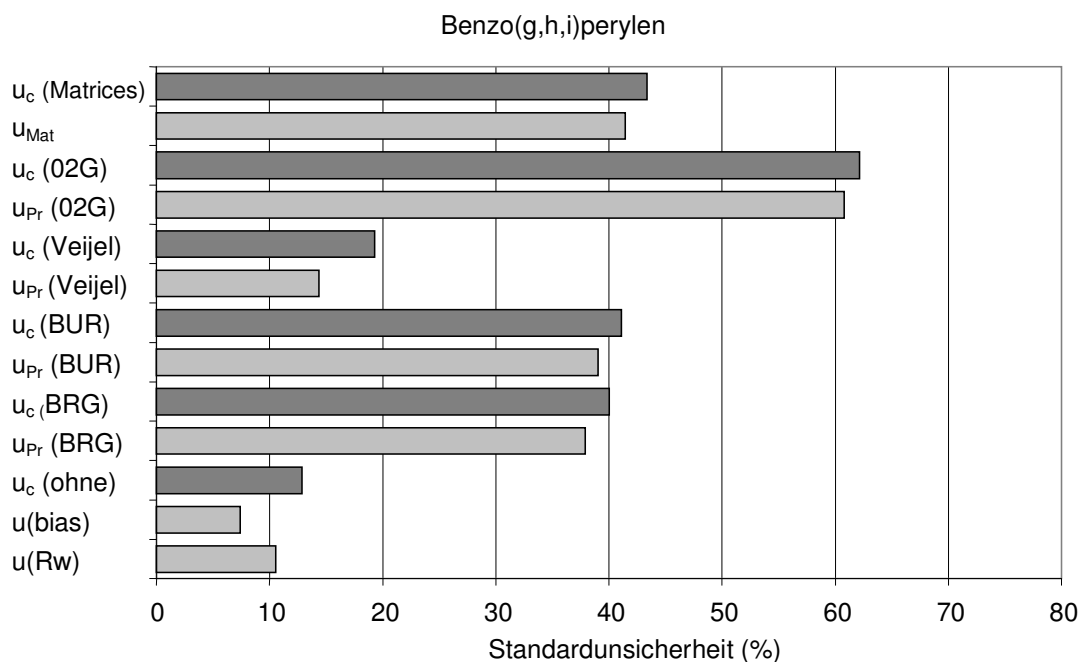


Abbildung A 37: BRG: Grünland, BUR: Rieselfeld, Berlin, Veijel: Boden, Dänemark; 02-G: Referenzboden
 Kombinierte Messunsicherheit u_c des Gehaltes von Benzo(g,h,i)perylen in Böden aus den Standardunsicherheiten der laborinternen Präzision $u(s_{Rw})$, der systematischen Messabweichung $u(bias)$, ohne sowie mit Standardunsicherheit der Bodenproben u_{Pr} als auch als gepoolte Standardunsicherheit der vier Bodenmatrices u_{Mat} .

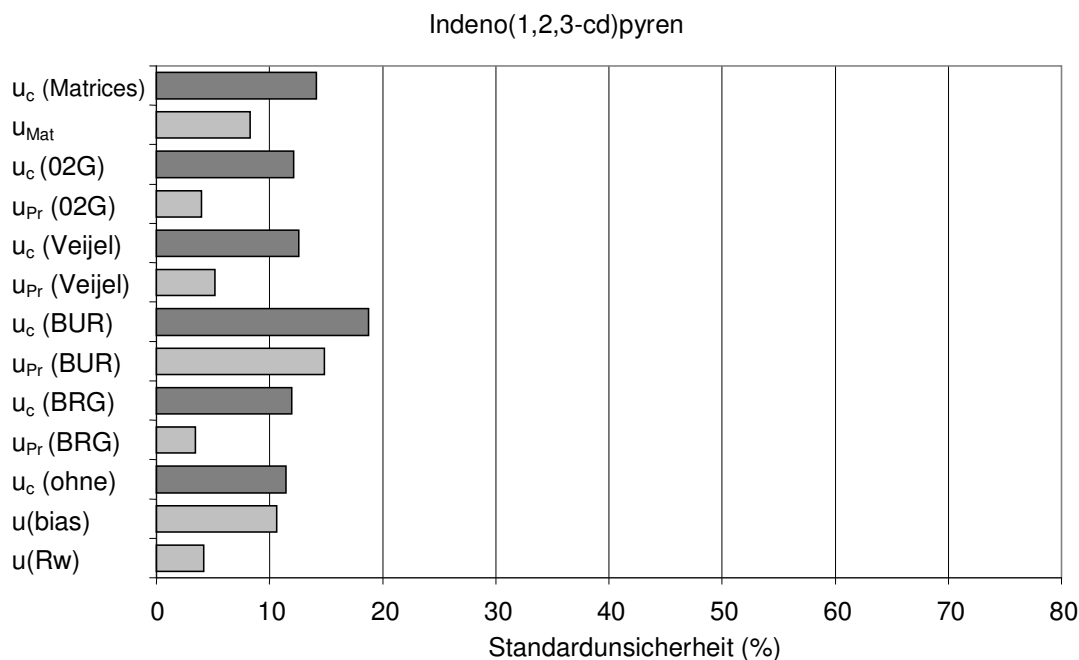


Abbildung A 38: BRG: Grünland, BUR: Rieselfeld, Berlin, Veijel: Boden, Dänemark; 02-G: Referenzboden
 Kombinierte Messunsicherheit u_c des Gehaltes von Indeno(1,2,3-cd)pyren in Böden aus den Standardunsicherheiten der laborinternen Präzision $u(s_{Rw})$, der systematischen Messabweichung $u(bias)$, ohne sowie mit Standardunsicherheit der Bodenproben u_{Pr} als auch als gepoolte Standardunsicherheit der vier Bodenmatrices u_{Mat} .

ANHANG D: STAMM- UND BEZUGSLÖSUNGEN, ZWISCHENVERDÜNNUNGEN VON PCP+HCB

Tabelle A 3: Ausgangssubstanzen und Stammlösungen

Name	Hersteller/ Bezugsquelle	Volumen Messkolben [ml]	Einwaage [mg]	Reinheit (%)	Gehalt der Stammlösung [mg/ml]	Lösungs- mittel
Pentachlorphenol (PCP)	Aldrich	10	13,66	98	1,339	Toluol
Hexachlorbenzol (HCB)	Aldrich	10	11,38	99	1,127	Toluol
2,4,6-Tribromphenol (TBP)	Aldrich	10	12,30	99	1,218	Toluol
β -Hexachlorcyclohexan (HCH)	Ehrenstorfer	10	12,39	99,7	1,235	Toluol

Tabelle A 4: Zwischenverdünnungen 1 für Grundkalibrierung

Name	Volumen Stammlösung [μ l]	Volumen Messkolben [ml]	Verdünnungs- faktor	Gehalt [μ g/ml]	Lösungs- mittel
Pentachlorphenol (PCP)	149,40	20	133,9	10	Toluol
Hexachlorbenzol (HCB)	177,52	20	112,7	10	Toluol
2,4,6-Tribromphenol (TBP)	164,24	20	121,8	10	Toluol
β -Hexachlorcyclohexan (HCH)	161,91	20	123,5	10	Toluol

Anhang

Tabelle A 5: Herstellung der Bezugslösungen zur Grundkalibrierung

Bezugslösung	Konzentrationsfaktor	Volumen Zwischenverdünnung1 Analyt	Volumen Zwischenverdünnung1 Interner Standard	Volumen Messkolben	Gehalt Analyt	Gehalt Interner Standard	Lösungsmittel
		[μ l]	[μ l]	[ml]	[ng/ml]	[ng/ml]	
1	1	80	800	10	80	800	Toluol
2	2	160	800	10	160	800	Toluol
3	3	240	800	10	240	800	Toluol
4	4	320	800	10	320	800	Toluol
5	5	400	800	10	400	800	Toluol
6	6	480	800	10	480	800	Toluol
7	7	560	800	10	560	800	Toluol
8	8	640	800	10	640	800	Toluol
9	9	720	800	10	720	800	Toluol
10	10	800	800	10	800	800	Toluol

Tabelle A 6: Zwischenverdünnungen 2 für Herstellung der dotierten Bodenproben

Name	Volumen Stammlösung	Volumen Messkolben	Verdünnungsfaktor	Gehalt	Lösungsmittel	Bemerkung
	[μ l]	[ml]		[μ g/ml]		
Pentachlorphenol (PCP)	747,00	10	13,4	100	Toluol	in einem Kolben
Hexachlorbenzol (HCB)	887,61		11,3	100		
2,4,6-Tribromphenol (TBP)	4106,10	25	6,1	200	Toluol	in einem Kolben
β -Hexachlorcyclohexan (HCH)	4047,66		6,2	200		

Anhang

Tabelle A 7: Herstellung dotierter Bodenproben

Konzentration	Konzentrationsfaktor	Volumen Zwischenverdünnung 2 Analyt	Volumen Zwischenverdünnung 2 Interner Standard	Extraktionsvolumen Toluol	Gehalt Analyt	Gehalt Interner Standard	Lösungsmittel
		[μ l]	[μ l]		[ng/ml]	[ng/ml]	
1	1	20	100	25	80	800	Toluol
2	2,5	50	100	25	200	800	Toluol
3	4	80	100	25	320	800	Toluol
4	5,5	110	100	25	440	800	Toluol
5	7	140	100	25	560	800	Toluol
6	8,5	170	100	25	680	800	Toluol
7	10	200	100	25	800	800	Toluol

ANHANG E: UNSICHERHEIT DES GEHALTS IN DEN DOTIERTEN BODENPROBEN

Berechnungsbeispiel für Pentachlorphenol

Reinheit PCP

Reinheit des Pentachlorphenol wird mit 0,98 angegeben. Da es keine zusätzlichen Informationen über den Unsicherheitswert gibt, wird eine Rechteckverteilung angenommen:

$$u(PCP) = \frac{0,02}{\sqrt{3}} = 0,0115$$

Masse PCP

Die Ablesegenauigkeit der Waage beträgt 0,01 mg.

Volumen

Laut Herstellerangaben ist das Volumen des Messkolbens 20 ml ± 0,04. Hier wird die Standardunsicherheit unter der Annahme einer Dreiecksverteilung berechnet:

$$u(m) = \frac{0,04ml}{\sqrt{6}} = 0,0163ml$$

Berechnung des Bodengehaltes in der dotierten Probe

Der Bodengehalt kann nach der folgenden Gleichung berechnet werden:

$$c = \frac{m_{\text{Stoff}} \cdot P_{\text{Stoff}}}{V_{\text{MesskolbenI}}} \cdot \frac{V_{\text{PipetteI}}}{V_{\text{MesskolbenII}}} \cdot \frac{V_{\text{Pipette}}}{m_T}$$

Gleichung A 1

m_{Stoff}	Masse des eingewogenen Stoffes
P_{Stoff}	Reinheit des eingewogenen Stoffes
V	Volumina der verschiedenen Messkolben oder Pipetten
m_T	Trockenmasse des Bodens

Systematische Unsicherheitskomponente – Pentachlorphenol

Die damit verbundene Messunsicherheit der einzelnen Komponenten kann wie folgt kombiniert werden:

$$u(C_{\text{recovery}}) = \sqrt{\left(\frac{u(P)}{P}\right)^2 + \left(\frac{u(m_{\text{Stoff}})}{m_{\text{Stoff}}}\right)^2 + \sum_{i=1}^n \left(\frac{u(V_i)}{V_i}\right)^2 + \left(\frac{u(m_T)}{m_T}\right)^2}$$

Gleichung A 2

Anhang

Tabelle A 8: Unsicherheit des Gehaltes der dotierten Bodenprobe $u(C_{recovery})$ für Pentachlorphenol

Beschreibung	x	$u(x)$	$u(x)/x$ (%)
Reinheit P	0,98	0,0115	1,1783
Masse m	13,66	0,01 mg	0,0732
Volumen Messkolben	10	0,0163 ml	0,1633
Volumen Pipette	250 μ l	0,8165 μ l	0,3266
Volumen Messkolben	10 ml	0,0163 ml	0,1633
Volumen Pipette	250 μ l	0,8165 μ l	0,3266
Masse Boden	5	0,02 g	0,4
$u(C_{recovery})$ (%)			1,35

Tabelle A 9: Unsicherheit des Gehaltes der dotierten Bodenprobe $u(C_{recovery})$ für Hexachlorbenzol

Beschreibung	x	$u(x)$	$u(x)/x$ (%)
Reinheit P	0,99	0,0058	0,5832
Masse m	11,38 mg	0,01mg	0,0879
Volumen Messkolben	10 ml	0,0163 ml	0,1633
Volumen Pipette	250 μ l	0,8165 μ l	0,3266
Volumen Messkolben	10 ml	0,0163 ml	0,1633
Volumen Pipette	250 μ l	0,8165 μ l	0,3266
Masse Boden	5 g	0,02 g	0,4
$u(C_{recovery})$ (%)			0,88